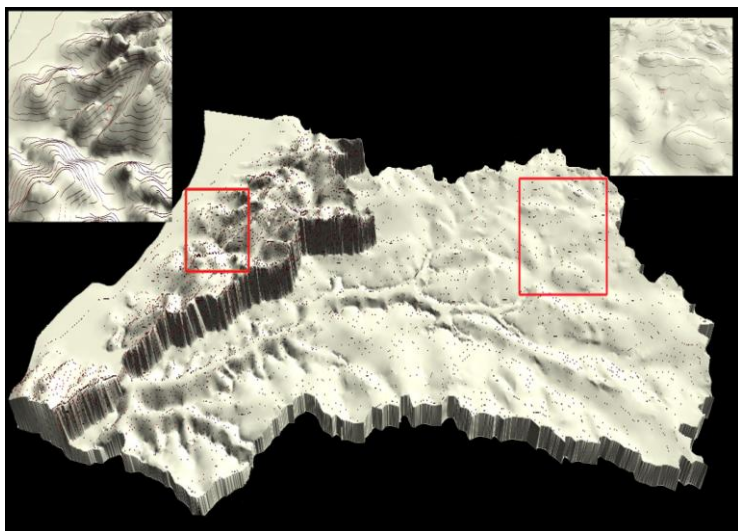


შალვა ელიზბარაშვილი

ატმოსფერული ნალექების მოდელირება
და გეოინფორმაციული
კარტოგრაფირება მთიან პირობებში



თბილისი
2009



პიდორომეტეოროლოგიის ინსტიტუტი
Institute of Hydrometeorology
Институт гидрометеорологии

თელავის იაკობ გოგებაშვილის სახელობის სახელმწიფო
უნივერსიტეტი

შალვა ელიზბარაშვილი

ატმოსფერული ნალექების მოდელირება
და გეოინფორმაციული
კარტოგრაფირება მთიან პირობებში

თბილისი
2009

ჟაგ 551.577

მონოგრაფიაში წარმოდგენილია სადოქტორო დისერტაციის ძირითადი შედეგები: საქართველოს მთიანი რეგიონების მაგალითზე განხილულია მთიან რაიონებში ნალექების სივრცითი და დროითი განაწილების გეოინფორმაციული კარტოგრაფირება და მათემატიკური მოდელირება, და მიღებული შედეგების გამოყენება ნალექთა ველების სივრცითი და დროითი გასაშუალოების ამოცანებში.

В монографии представлены основные результаты докторской диссертации: на примере горных регионов Грузии рассмотрено геоинформационное картографирование и математическое моделирование пространственного и временного распределения атмосферных осадков в горных районах, и применение полученных результатов в задачах пространственного и временного осреднения полей осадков.

ISBN 978-9941-0-0334-9

რედაქტორი: გეოგრაფიის მეცნიერებათა დოქტორი
მარიამ ელიზბარაშვილი

რეცენზენტები: ფიზიკა-მათემატიკის მეცნიერებათა დოქტორი
ნოდარ ბეგალიშვილი

**გეოგრაფიის მეცნიერებათა კანდიდატი
იზოლდა ჭინჭარაშვილი**

	პიდრომეტეოროლოგიის ინსტიტუტი Institute of Hydrometeorology Институт гидрометеорологии
---	---

თელავის იაკობ გოგებაშვილის სახელობის სახელმწიფო
უნივერსიტეტი

შინაარსი

შესავალი-		5
თავი 1. ატმოსფერული ნალექების გეოინფორმაციული გარტოგრაფირება		7
1.1. პროგრამული უზრუნველყოფის შერჩევა	- - - - -	7
1.2. კარტოგრაფიული საფუძველი	- - - - -	9
1.3. მათემატიკური მოდელი გეოინფორმაციული კარტოგრაფირებისათვის	- - - - -	13
1.4. ატმოსფერული ნალექების გეოინფორმაციული კარტოგრაფირება	- - - - -	25
1.5. გეოინფორმაციული რუკის შესაბამისობა იზოპიეტების რუკასთან	- - - - -	32
1.6. საქართველოს ტერიტორიაზე ატმოსფერული ნალექების სივრცითი განაწილების მოდელი	- - - - -	34
თავი 2. ატმოსფერული ნალექების მრავალწლიური ცვლილების მათვარება		37
2.1. ატმოსფერული ნალექების გლობალური ცვლილება	- - - - -	37
2.2. საქართველოში ატმოსფერული ნალექების მრავალწლიური ცვლილების შესწავლის თანამედროვე მდგრმარეობა	- - - - -	39
2.3. ატმოსფერული ნალექების მრავალწლიური ცვლილება საქართველოს მთიან რაიონებში	- - - - -	43
თავი 3. ატმოსფერული ნალექების გეოინფორმაციული კარტოგრაფირებისა და მოდელირების შეჯებების პრაქტიკული გამოყენება მათი გელების სივრცითი და დროითი გასაშუალოების ამოცანებში		52
3.1. ატმოსფერული ნალექების გასაშუალოება სივრცეში	- - - - -	52
3.2. ატმოსფერული ნალექების სივრცეში გასაშუალოების მეთოდი მთიანი რელიეფის პირობებში და მისი რეალიზაცია საქართველოს ზოგიერთი რაიონისათვის	- - - - -	54
3.3. საქართველოს ტერიტორიაზე მოსული ატმოსფერული ნალექების გასაშუალოებული მნიშვნელობა და წყლის მოცულობა	- - - - -	58
3.4. ატმოსფერული ნალექების გასაშუალოება დროში	- - - - -	59
3.5. ველის ნებისმიერ წერტილში ატმოსფერული ნალექების განსაზღვრის მოდელი	- - - - -	61
3.6. ნიადაგების კლიმატის დარაიონება და გეოინფორმაციული კარტოგრაფირება	- - - - -	63
მირითადი ლიტერატურა	- - - - -	66

შესავალი

ატმოსფერული ნალექები წარმოადგენს პავის უმნიშვნელოვანებს მახასიათებელს. მონაცემები ნალექების შესახებ აუცილებელია გათვალისწინებულ იქნას სასოფლო სამეცნიერო სამუშაოების წარმოებაში, პიღირობების ნაგებობების, საავტომობილო და სარკინიგზო მაგისტრალების, აეროპორტების, საცხოვრებელი სახლების და საცურორტო დაწესებულებების მშენებლობაში, და ცის ქვეშ ჩასატარებელი ტაქტიკური და სტრატეგიული დანიშნულებების მთელი რიგი ამოცანების გადაწყვეტაში.

სხვადასხვა ნაგებობების მოქმედების ეფექტურობა, ხანგრძლივობა და რენტაბელობა მნიშვნელოვნად არის დამოკიდებული მათზე აგრძელებული ნალექების ზემოქმედების ხარისხზე. ძლიერი თავსხმა ნალექები დიდ მატერიალურ ზარალს აყენებს მეურნეობას, ისინი ზოგჯერ მოიცავნ დიდ ტერიტორიებს და მთავრდებიან კატასტროფული შედეგებით, ხშირად იწვევენ წყალდიდობებს, ზგავებს და ღვარცოფულ ნაკადებს.

სახმელეთო ტრანსპორტის მოძრაობა,
კლიმატორეაბიული პროცედურების და ასტრონომიული
დაკვირვებების, თუ სხვა ღონისძიებების დაგეგმვა და ჩატარება
არსებითად არის დამოკიდებული ატმოსფერული ნალექების
რეჟიმზე და ხასიათზე.

დღეისათვის საქართველოში ატმოსფერული ნალექების კლიმატოლოგიური კვლევის დარგში საკმაოდ მდიდარი ლიტერატურაა დაგროვილი, რომელთაგანაც განსაკუთრებით აღსანიშნავია ა.გოეიკოვის, ი.ფიგუროვსკის, ო.დროზდოვის, მ.კორძახიას, გ.ჭირაქაძის, მ.ხეიჩიას, შ.ჯავახიშვილის, ლ.პაპინაშვილის, ი.სულაძევლიძის, ე.ელიზბარაშვილის და სხვათა გამოკვლეულები. მათში საკმაოდ ამომწურავად არის წარმოდგენილი ატმოსფერული ნალექების წლიური, სეზონური და თვიური ჯამშების ტერიტორიული განაწილება, მათი რეკიმის ძირითადი თვის სეზურებანი რელიეფთან და ცირკულაციურ პროცესებთან კავშირში, აგრეთვე ნალექების სხვადასხვა მახასიათებლის სტატისტიკური სტრუქტურა, ნალექების მოხვდის პირობები, თავსებმა ნალექები და ა.შ.

მიუხედავად ამისა არსებული გამოკვლევები ვეღარ აკმაყოფილებს თანამეროვე მოთხოვნებს. თანამედროვე პირობებში მსოფლიოს განვითარებულ ქვეყნებში დიდ

ინტერესს იჩენენ გეოინფორმაციული ტექნოლოგიების მიმართ, რასაც კარტოგრაფია ხარისხობრივად ახალ საფეხურზე გადაჰყავს. გეოინფორმაციული ტექნოლოგიები საშუალებას იძლევა სისტემაში მოვიყვანოთ კოლონისალური მოცულობის მასალები.

ძალზე დიდია გეოინფორმაციული სისტემების როლი ქვეყნის სოციალურ-ეკონომიკური განვითარების საქმეში. ისინი განვითარებულ ქვეყნებში გამოიყენება ეკონომიკის თითქმის ყველა დარგში ტერიტორიის დაგეგმარებიდან დაწყებული, თემატური რუკებით დამთავრებული. გეოინფორმაციული სისტემები გამოიყენება ინფორმაციული ნაკადების სისტემური, ანალიზური და სინთეზური დამტეშავებისათვის.

გეოინფორმაციული სისტემა, წარმოადგენს ინფორმაციის მართვის ელექტრონულ სისტემას, რომელიც შედგება ერთმანეთისაგან თვისობრივად შერწყმული, ერთის მხრივ, გეოგრაფიულად ორიენტირებული გრაფიკული და მეორეს მხრივ ანბანურ-ციფრული მონაცემთა ბაზებისაგან. სისტემის ერთ-ერთი მთავარი გამოსავალია ციფრული თემატური რუკა.

თავისთვალი ცხადია, რომ ნალექების ასეთი ციფრული რუკა მთლიანად აპარატის ფართო საზოგადოების მოთხოვნებს, რომლებიც დაკავშირებულია გარემოს დაცვის, ეკოლოგიური ექსპერტიზის, მიწების გამოყენების და დაგეგმარების, ნალექების სივრცითი მოდელირების პრობლემებთან, ხელს შეუწყობს ჰიდრომეტეოროლოგიის მთელი რიგი ამოცანების ამოსხნას, რომლებიც დაკავშირებულია ნალექების გასაშუალოებასთან სივრცესა და დროში, ტერიტორიის წელის ბალანსის დაზუსტებასთან, რადიოლოკაციური და თანამგზავრული მონაცემების სწორ ინტერპრეტაციასთან, ამინდის რიცხვით პროგნოზირებასთან, კლიმატური ნორმების დაზუსტებასთან, კლიმატის მრავალწლიური ცვლილების ობიექტებზე შეფასებასთან, ნალექების გაანგარიშებასთან მაღალმთიან ზონაში და სხვა.

თავი I. ატმოსფერული ნალექების გეოინფორმაციული კარტოგრაფიული

1.1 პროგრამული უზრუნველყოფის შერჩევა

თანამედროვე პირობებში გეოგრაფიულ კვლევებში ფართოდ დაინტერგა გეოინფორმაციული სისტემები, რომელთა საშუალებითაც საქმიანო მაღალი სიზუსტის და დიდი ინფორმაციის მატარებელი რუკები მიიღება. ასეთი სისტემა ჩვენ დაგვჭირდა უპირველეს ყოვლისა რუკების შედგენისათვის კარტოგრაფიული საფუძვლის მოსამსადგებლად.

არსებობს უამრავი გეოინფორმაციული სისტემები. მათ შორის სამაგიდო და სტანდარტულ გეოინფორმაციულ სისტემებს მიეკუთვნება: MapInfo, Geomedia, ArcView და სხვა. თითველი მათგანი ერთმანეთისგან განსხვავდება მრავალი თავისებურებით.

პროგრამა MapInfo წარმოადგენს ერთ-ერთ მძლავრ გეოინფორმაციულ სისტემას, რომელშიც კარტოგრაფიული ამოცანების გადაწყვეტასთან ერთად შესაძლებელია ზუსტი მათემატიკური გაანგარიშებების ჩატარება რაც ძალზე მნიშვნელოვანია სხვადასხვა სახის მოდელირებისათვის. MapInfo-ს სტანდარტულ საინსტალაციო პაკეტში შედის ყველა ის ფუნქცია რაც საჭიროა ციფრული კარტოგრაფიულებისა და მოდელირებისათვის: რასტრული და ვექტორული გამოსახულების რეგისტრაცია, ვექტორული რუკების შექმნა, თემატური კარტოგრაფიულები, სამგანზომილებიანი მოდელების აგება, სხვადასხვა სახის გრაფიკებისა და დიაგრამების შედაგნა და სხვა. არასტანდარტული მოდულები კიდევ უფრო სრულყოფს პროგრამის ფუნქციებს და რაც მთავარია MapInfo დიაა პროგრამირებისათვის. მისთვის შექმნილია პროგრამული ენა MapBasic, რომელშიც შეუზღუდავად შეიძლება სხვადასხვა ფუნქციების შექმნა.

MapInfo v7.5 ადვილად აღიქვამს ყველა რასტრულ ფორმატს (*.bil, *.sid, *.gen, *.ntf, *.ecw, *.url, *.tif, *.grc, *.bmp, *.gif, *.tga, *.j pg, *.pcx, *.jp2, *.j2k, *.png, *.psd, *.wmf, *.emf), ტექსტურ ფაილს ASCII (*.txt), Microsoft Excel (*.xls), Microsoft Access Database (*.mdb), Shapefile (*.shp), dBAS DBF (*.dbf). შესაძლებელია იმპორტირება *.mif, *.dxf, *.mbi, *.mmi, *.img, *.gml ფაილების, და ექსპორტირება *.mif, *.dxf, *.txt, *.dbf ფორმატში. აგრეთვე აღსანიშნავია ფუნქცია Universal Translator რაც უზრუნველყოფს AutoCad DWG|DXF,

ESRI ArcInfo Export (E00), ESRI Shape, Intergraph/MicroStation Design, MapInfo (MID/MIF), MapInfo TAB, Spatial Data Transfer Standart (SDTS),Vector Product Format (VPF) ფორმატების ურთიერთ გაცვლას.

პროგრამა MapInfo-ში ვექტორული რუკა წარმოდგენილია ფენების სახით. თითოეულ ფენაში შეიძლება გვქონდეს: ხაზოვანი, პოლიგონალური და წერტილოვანი ელემენტები, ამასთან პროგრამის ერთ-ერთ მნიშვნელოვან თავისებურებას წარმოადგენს ის, რომ ნებისმიერ ფენაში ერთდროულად შეიძლება განთავსდეს სამივე სახის ელემენტი, რაც მათემატიკური გაანგარიშებების დროს გადამწყვეტ როლს თამაშობს. ვიზუალიზაციასა და ღროვებითი საყრდენი გაქტორების ანალიზს საქმაოდ ამარტივებს ის ფუნქცია, რომ ერთიდაიგვე ფენაში არსებულ ობიექტებს იმისდა მიუხედავად არის თუ არა მათზე მიბმული ატრიბუტული ინფორმაცია, შეიძლება ჰქონდეთ სხვადასხვა შეფერილობა, ხაზის განსხვავებული ტიპი და წარმოდგენილი იყოს განსხვავებული სიმბოლოთა სახით.

MapInfo საშუალების იძლევა სამუშაო ფანჯარაში ობიექტების დაწაპუნებით (Click) მივიღოთ არა ატრიბუტული, არამედ რეალური ინფორმაცია ობიექტის კოორდინატებზე, ფართობზე, სიგრძეზე, პერიმეტრზე, ობიექტის ტიპზე და მოვახდინოთ ზოგიერთი მათგანის კოპირება Windows-ის სხვა ფანჯრებში.

საქმაოდ დახვეწილია MapInfo-ს გრაფიკული საშუალებები. მარტივად ხდება ნებისმიერ არააქტიურ ფენის ელემენტზე აქტიური ფენის ელემენტების მიწებება (Snap), აქტიური ფენის ობიექტებიდან არააქტიური ფენის ობიექტების ამოჭრა (Erase, Erase Outside), გაყოფა (Split, Polyline Split), წერტილების დამატება გადაკვეთაზე (Overlay nodes). შესაძლებელია ხაზის ან პოლიგონის გარკვეული მონაკვეთის კოპირება ხაზოვან ელემენტად.

მონაკვეთა ბაზები სადაც ხდება ობიექტებზე არსებული ატრიბუტი ინფორმაციის შენახვა და მართვა, შეიძლება შეიქმნას MapInfo-ში ან იმპორტირებული იყოს სხვა პროგრამიდან. ობიექტთა მონიშვნა მონაცემთა ბაზებიდან ხდება: ნებისმიერი ველის მნიშვნელობებიდან (მათზე მათემატიკური ოპერაციების მითითებითაც), ორი სხვადასხვა ფენის გეოგრაფიულად ურთიერთგადამფარავი ობიექტების პარამეტრებით (შემდგომში ამ ფენების ველების განახლებით),

ყველა ობიექტის, უკვე მონიშნული ობიექტების გაუქმება და ყველა დანარჩენი ობიექტების გააქტიურება. აქვე ხდება გრაფიკულ გამოსახულებაზე ან ცხრილში მონიშნული ობიექტების ძებნა. ველთა განახლება შესაძლებელია: ფენის, ცხრილში არსებული სვეტის, სხვა არააქტიური ფენის სვეტების, კონკრეტული აღფანუმერული მნიშვნელობის, მათემატიკური ფორმულის, უგროვთ წოდებული Search Replace-ის (ძებნა და განთავსება) მითითებით. ცხრილში შეიძლება გადატანილი იქნეს ობიექტების კოორდინატები ნებისმიერი კოორდინატთა სისტემისათვის, ინფორმაცია ობიექტის ტიპზე და სხვა.

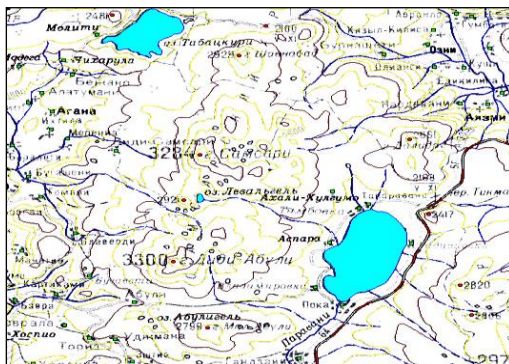
ზემოაღნიშნულიდან გამომდინარე გადავწყვიტეთ ჩვენი კვლევის ძირითადი ნაწილი შეგვესრულებინა პროგრამა MapInfo v7.5-ის სტანდარტული და არასტანდარტული პაკეტის გამოყენებით.

1.2 კარტოგრაფიული საფუძველი

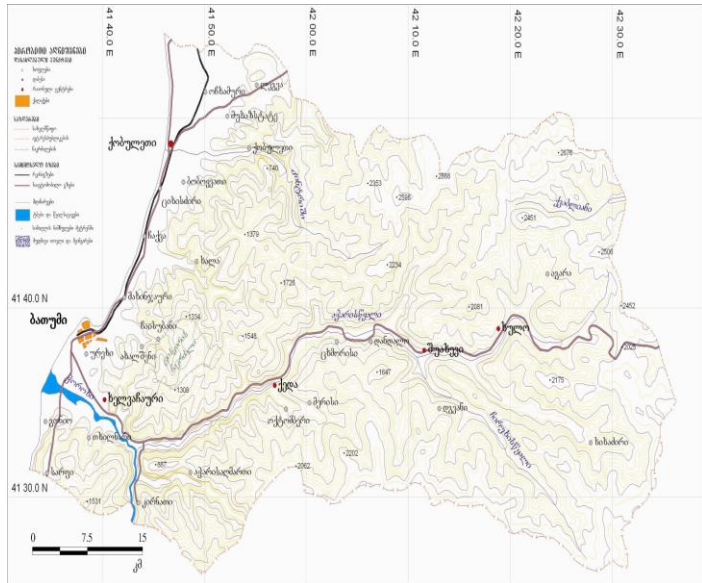
გეოინფორმაციული კარტოგრაფიულისა და მოდელირებისათვის აუცილებელია ციფრული კარტოგრაფიული საფუძველის არსებობა. იგი მიიღება აეროგადაღებების, კოსმოსური გამოსახულებების ან უკვე არსებული რუკების დიგიტალური მასშტაბის შესაბამისი სიზუსტეების და ფენების კორექტულობის დაცვით.

ჩვენს შემთხვევაში საკვლევი ტერიტორიების დიგიტალურ რუკებს საფუძვლად დაედო საქართველოს 1:500 000-იანი მასშტაბის ტოპოგრაფიული რუკები, რომლებიც შედგენილია 1942 წლის კოორდინატთა სისტემაში. ტოპოგრაფიული რუკები სკანირებულია რეზოლუციით 400 pixels\inch. პროგრამა MapInfo-ში მოხდა ზემოაღნიშნული რასტრული გამოსახულებების რეგისტრაცია Longitude/Latitude (Pulkovo 1942) სისტემაში, გეოგრაფიული გრძელითა და განედით. საკონტროლო წერტილები აღებულია რუკების კუთხეებში, კოორდინატების ბაზის გადაკვეთის ადგილას, სადაც ადვილად განისაზღვრება გეოგრაფიული კოორდინატები და ცდომილება თითოეულ წერტილზე არ აღემატება 2 პიქსელს, რაც გამოწვეულია ქაღალდის სიძველით და დეფორმაციით. რასტრულ საფუძველზე აციფრულია შემდეგი საზოგანი ფენები: სახელმწიფო საზღვრები (Border), ადმინისტრაციული საზღვრები (Border_as), საავტომობილო გზები (Roads), რკინიგზები (Railways), ნაკრძალები და დაცული

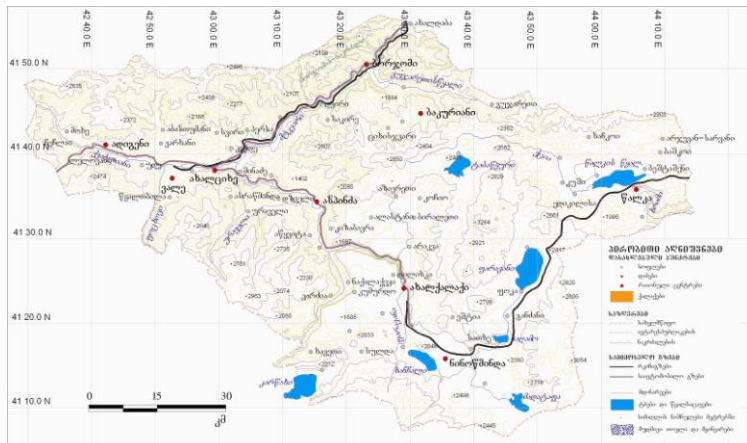
ტერიტორიები (Reserve), ჰიდროლოგიური ქსელი (მდინარეები) (Rivers), ზავი ზღვის სანაპირო ზოლი (Sea), ჰორიზონტალები (Iso), რომლებიც გატარებულია ზღვისპირეთში ყოველ 50 ხოლო დანარჩენ ტერიტორიაზე 100 მეტრში. პოლიგონალური ფენები: მყინვარები (lasier), ტბები და წყალსაცავები (akes). წერტილოვანი ფენები: დასახლებული პუნქტები (Sitti), მწვერვალები და უდელტებილები (Tops). ატრიბუტული ინფორმაცია გააჩნიათ: (Reserve) – ნაკრძალებისა და დაცული ტერიტორიების დასახლება, (Rivers) – მდინარეების დასახლება, (Iso) – სიმაღლე ზღვის დონიდან, (Sea) – სიმაღლე ზღვის დონიდან, (Lakes) – ტბების და წყალსაცავების დასახლება და სიმაღლე ზღვის დონიდან, (Sitti) – დასახლებული პუნქტების დასახლება, (Tops) – მწვერვალების და უდელტებილების დასახლება და სიმაღლე ზღვის დონიდან. ციფრული კარტოგრაფიული საფუძველის ფრაგმენტი ანალოგიურ რასტრულ გამოსახულებასთან ერთად ნაჩვენებია ნახ. 12.1-ზე. დიგიტალური რუპა შედგენილია ტოპოგრაფიული რუპების ფურცლების მიხედვით, ამიტომ შემდგომ ეტაპს წარმოადგენს ამ ფაილების გაერთიანება, საკვლევი ტერიტორიებისთვის ცალ-ცალკე რუპების შედგენა, წარწერების, ხაზების, პოლიგონების და სიმბოლოებისთვის სტილის შერჩევა, თითოეული ტერიტორიისათვის Workspace-ების შექმნა და არქივირება. ადნოშნული მასალა ნაჩვენებია ნახ 12.2, 12.3, 12.4-ზე.



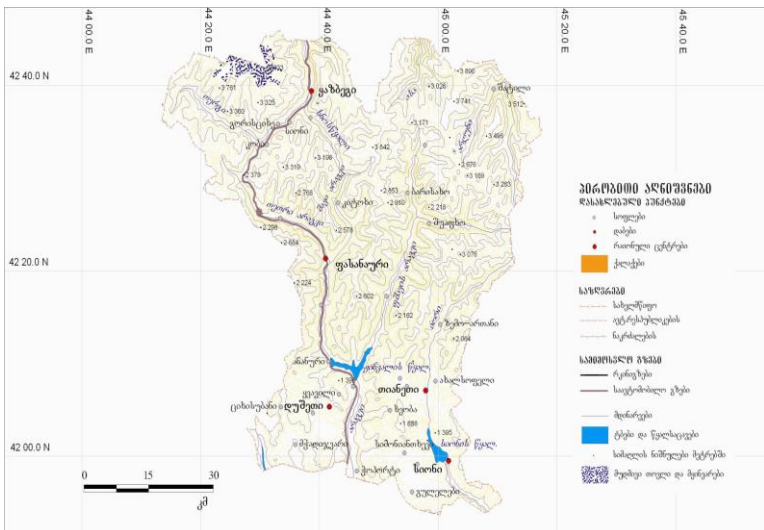
ნახ 12.1 ციფრული კარტოგრაფიული ხავუძველის ფრაგმენტი ანალოგიურ რასტრულ გამოსახულებასთან ერთად



ნაბ 1.2.2 აქარის ავტონომიური რესპუბლიკის ციფრული
კარტოგრაფიული საცუდველი



ნახ 1.2.3. სამხრეთ საქართველო, მესხეთ ჯავახეთის ციფრული კარტოგრაფიული საფუძველი



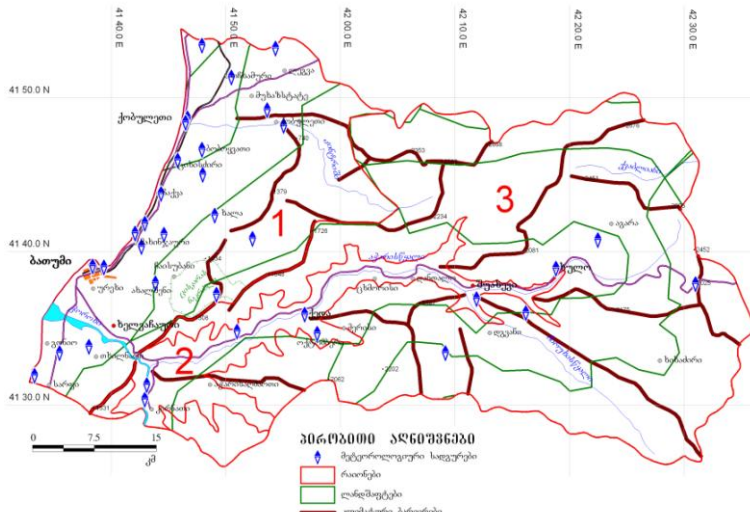
ჩახ 1.2.4. აღმოხავდეთ კაგეასიონის(მთიულეთი, ფშავი, ხევი, ხევხურეთი) ციფრული კარტოგრაფიული საფუძველი

შექმნილი ციფრული კარტოგრაფიული საფუძველის გამოყენებით, საკლევ ტერიტორიებზე აციფრულია კლიმატური ბარიერები (barrieri, საზოვანი ფენა), რომლებიც ემთხვევა ძირითად ქედებს. დატანილია ლანდშაფტების დიგიტალური საფუძველი ნ.ბერუხაშვილის მიხედვით (Land, პოლიგონალური ფენა) და მეტეოროლოგიური სადგურები (Sadgurebi, წერტილოვანი ფენა), რომლებიც შეიცავს ატრიბუტულ ინფორმაციას შემდეგ ველებში: Name – მეტეოროლოგიური სადგურის დასახელება; Z-მეტეოროლოგიური სადგურის სიმაღლე ზღვის დონიდან მეტრებში; Longitude/Latitude – გეოგრაფიული კოორდინატები: გრძელი და განედი გრადუსებში; Naleqebi – ნალექების ფაქტიური რაოდენობა მოცემული მეტეოროლოგიური სადგურისათვის მილიმეტრებში; ID – მეტეოროლოგიური სადგურის რიგითი ნომერი კლიმატური ცნობარის მიხედვით; Data – დაკვირვების წელთა რიგის რაოდენობა; Naleqebi-form და Region ველები რომლებშიც შემდგომში ჩაიწერება ფორმულით გამოთვლილი ნალექების რაოდენობა და რაორნის ნომერი რომელშიც მოთავსდება მეტეოროლოგიური სადგური.

მეტეოროლოგიურ სადგურებში ნალექების როდენობასა და სიმაღლეს შორის არსებული ცალსახა დამოკიდებულების, ლანდშაფტების საზღვრებისა და კლიმატური პარიერების გათვალისწინებით მოვახდინეთ საკვლევი ტერიტორიების დარაიონება (region)

1.3 მათემატიკური მოდელი გეოინფორმაციული კარტოგრაფიული სათვის

აჭარის ავტონომიური რესპუბლიკის ტერიტორიაზე გამოვყავით სამი რაიონი, სადაც ატმოსფერული ნალექების განაწილება სიმაღლის მიხედვით ერთგვაროვანია. (ნახ.1.3.1.)

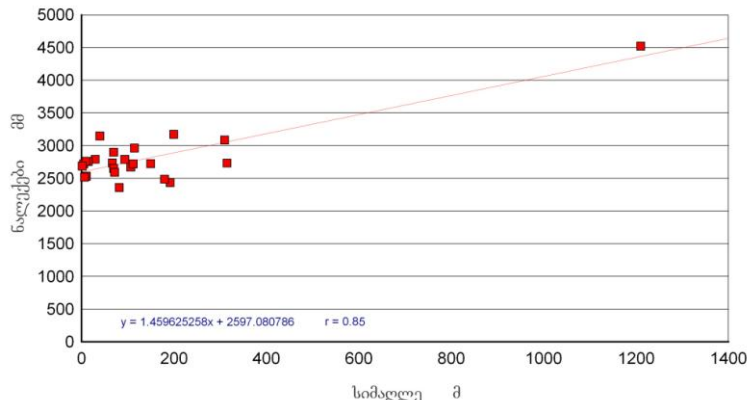


ნახ.1.3.1 აჭარის ავტონომიური რესპუბლიკის დარაიონება.

პირველი რაიონი ვრცელდება შავი ზღვის სანაპიროდან მესხეთის ქედის დასავლეთ ფერდობამდე, ამ ტერიტორიაზე მოთავსებულია 24 მეტეოროლოგიური სადგური. მეორე რაიონს წარმოადგენს მდინარე აჭარისწყალის და ჭოროხის ხეობა ზღვის დონიდან 700-მ. სიმაღლემდე. აქ მოთავსებულია 6 მეტეოროლოგიური სადგური. მესამე რაიონი მოიცავს მესხეთის ქედის სამხრეთ აღმოსავლეთ, შავშეთის ქედის ჩრდილოეთ და არსიანის ქედის დასავლეთ ფერდობებს, მდინარე აჭარისწყალის და ჭოროხის ხეობას ზღვის დონიდან 700-

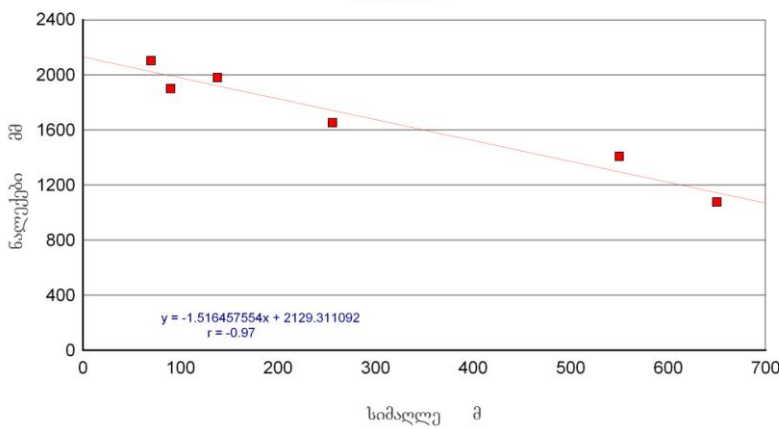
მეტრის ზემოთ. ამ ტერიტორიაზე მოთავსებულია 5 მეტროლოგიური სადგური. ნალექების ცვლილება სიმაღლის მიხედვით, შესაბამისი პოლინომი და კორელაციის კოეფიციენტი ნაჩვენებია ნახ.13.2 , 1.3.3 , 1.3.4 -ზე.

რაოთნი-1

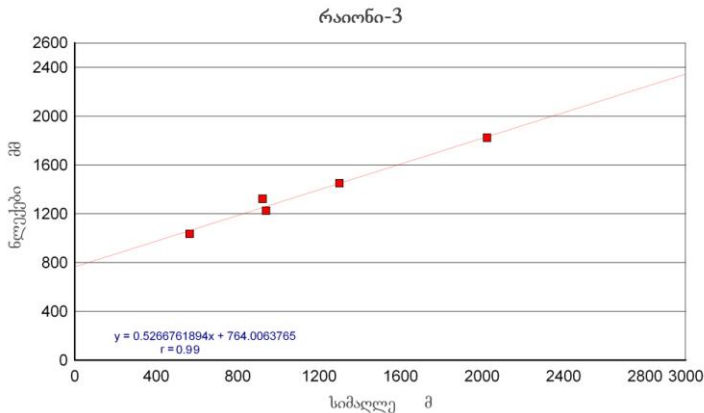


ნახ.13.2. ნალექების ცვლილება სიმაღლის მიხედვით.
აჭარა, 1- რაოთნი.

რაოთნი-2



ნახ.13.3. ნალექების ცვლილება სიმაღლის მიხედვით.
აჭარა, 2- რაოთნი.



ნალექების ცვლილება სიმაღლის მიხედვით.
აჭარა, პ- რაიონი.

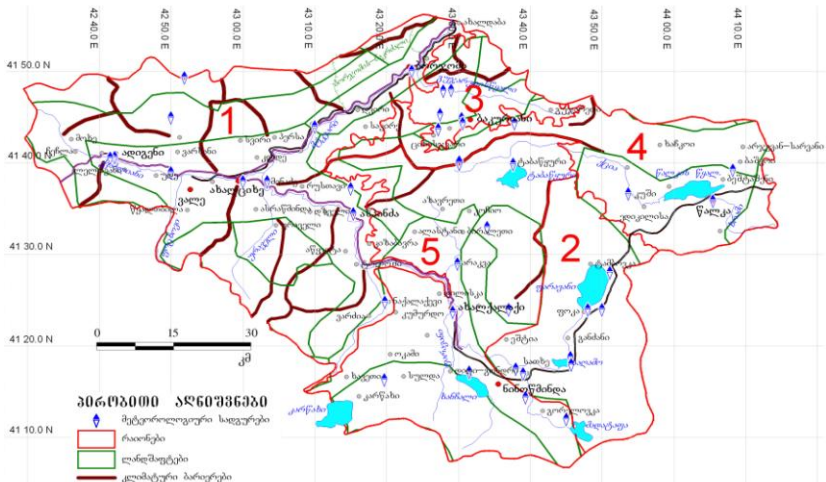
იმისდა მიხედვით თუ რომელ რაიონში მდებარეობენ მეტეოროლოგიური სადგურები, შესაბამისი განტოლებებით გამოოვლილია ატმოსფერული ნალექების რაოდენობა თითული მათგანისათვის, რომლებიც კარგ თანხმობაშია მათ ფაქტიურ მონაცემებთან. ცხრილ 13.1-ში მოცემულია მეტეოროლოგიური სადგურების ფენის ყველა ატრიბუტული ინფორმაცია. როგორც ადგნიშვნეთ Naleqebi-form ველში მოთავსებულია ატმოსფერული ნალექების გამოთვლითი მნიშვნელობები.

სამხრეთ საქართველო, მესხეთ-ჯავახეთის ტერიტორია დაყოფილია 5 რაიონად. (ნახ. 1.3.5.)

პირველი რაიონის აღმოსავლეთ საზღვარი გადის მდინარე მტკვრის ხეობის მარჯვენა მხარეს ზღვის დონიდან 1500-1700 მ სიმაღლეზე, სამხრეთით და დასავლეთით შემოსაზღვრულია ერუშეთის და არსიანის ქედებით, ხოლო ჩრდილოეთით მესხეთის ქედით. ამ ტერიტორიაზე მოთავსებულია 12 მეტეოროლოგიური სადგური.

**ცხრ. 1.3.1. აჭარის მეტეოროლოგიური სადგურების
ატრიბუტული ინფორმაცია**

Name	Z	Longitude	Latitude	Naleqebi	Naleqebi_form	ID	Region	Data
შუახევი	650	42.1986	41.6151	1076	996	430	2	19
ხელო	923	42.314	41.6481	1321	1294	426	3	42
ჩაქვისთვი	315	41.8727	41.6806	2730	3057	420	1	28
ციხისზირი	67	41.7638	41.7653	2732	2695	413	1	17
ჩაქვა, აგრი	30	41.7395	41.7291	2788	2641	416	1	49
მწვანე-კონცხი, ზ	94	41.7161	41.6969	2787	2734	418	1	56
ბოროვებითი	70	41.799	41.7771	2650	2699	412	1	29
ჯიხანჯირი	107	41.9061	41.8868	2670	2753	405	1	12
ოჩიამური	11	41.8417	41.8553	2530	2613	409	1	28
ქედა	256	41.9484	41.5984	1652	1761	431	2	32
ქვემთ-მარადიდი	90	41.7161	41.5063	1900	1982	441	2	11
სარუფი	40	41.5555	41.5321	3145	2655	439	1	10
ასალშენი	150	41.7314	41.6321	2721	2816	429	1	22
ქსოულეთი	7	41.7781	41.8112	2514	2607	408	1	33
მახინჯაური	15	41.7109	41.6715	2754	2619	421	1	18
ბათუმი, ქალაქი	5	41.6401	41.6506	2718	2604	423	1	14
გოდერძის უდ.	2025	42.517	41.6314	1822	1771	428	3	6
დაგვა	200	41.8	41.75	3171	2889	414	1	30
კონი	112	41.918	41.803	2719	2761	411	1	22
პურტიო	565	42.27	41.6	1034	889	432	3	8
მახუნცეთი	138	41.85	41.58	1979	1918	433	2	8
სინდიქითი	70	41.7188	41.5221	2102	2009	440	2	19
ხალა	115	41.8176	41.7056	2960	2765	415	1	19
სიბალიძეები	550	41.9668	41.5775	1407	1370	437	2	13
კისკარა	1210	41.8201	41.6198	4519	4363	425	1	7
კუცხლაური	82	41.799	41.89	2356	2717	406	1	12
აკამბარი	192	41.8939	41.8199	2431	2877	407	1	13
ქსოულეთი, რკ	10	41.7753	41.8065	2757	2612	410	1	28
ბათუმი, ალფონსი	72	41.7016	41.6864	2589	2702	417	1	8
მწვანე-კონცხი, ქ	70	41.7439	41.685	2897	2699	419	1	11
დიდაჭარა	940	42.3749	41.6792	1224	1310	422	3	18
ბათუმი, შექერა	2	41.6564	41.6494	2685	2600	424	1	69
ჩარნალი	310	41.5921	41.5566	3082	3050	434	1	14
მახო	180	41.6348	41.5634	2484	2860	435	1	11
ხინაძირი	1300	42.1534	41.5566	1449	1588	438	3	4

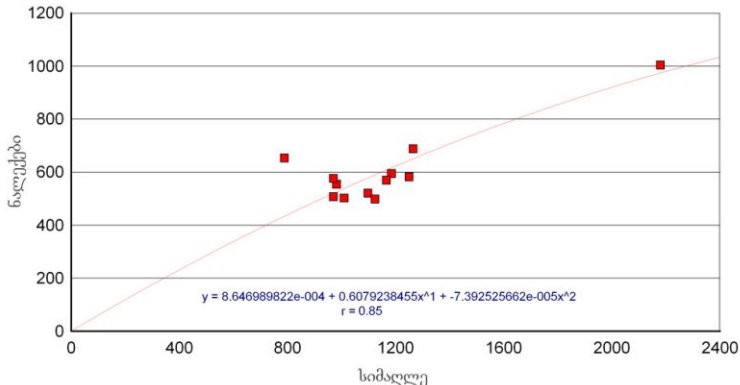


ნაბ.I.3.5. სამხრეთ საქართველო, მესხეთ-ჯავახეთის დარაიონება.

მეორე რაიონი აღმოსავლეთით და დასავლეთით შემოსაზღვრულია ჯავახეთისა და სამსარის ქედებით, სამხრეთ დასავლეთით მიუჟვება მდინარე ფარაგნის ხეობას, ხოლო ჩრდილო აღმოსავლეთით 135-ე გვარის ლანდშაფტის საზღვარს. ამ რაიონში მდებარეობს 7 მეტეოროლოგიური სადგური. მესამე რაიონი მოიცავს მდინარე გუჯარეთისწყალის ხეობას ზღვის დონიდან 1000მ. სიმაღლიდან 1800-2000მ. სიმაღლემდე. ამ რაიონში 6 მეტეოროლოგიური სადგურია. მეოთხე რაიონის სამხრეთ საზღვარი გადის თრიალეთის ქედზე, სამხრეთ დასავლეთით 135-ე გვარის ლანდშაფტის საზღვარზე და შემდგომ სამხრეთ აღმოსავლეთით და აღმოსავლეთით მიუჟვება წალკის რაიონის აღმინისტრაციულ საზღვარს, ჩრდილოეთიდან კვლავ აკრავს თრიალეთის ქედი და მდინარე გუჯარეთისწყალის ხეობის ნაწილი ზღვის დონიდან 1800 მ. სიმაღლის ზემოთ. ამ რაიონში 5 მეტეოროლოგიური სადგურია. მესუთე რაიონი აღმოსავლეთიდან შემოსაზღვრულია სამსარის ქედით და მდინარე ფარაგნის ხეობით, სამხრეთით საქართველოს აღმინისტრაციული საზღვრით, დასავლეთით საზღვარი გადის მდინარე მტკვრის ხეობის ზღვის დონიდან 1500 მ. სიმაღლეზე და ჩრდილოეთიდან თრიალეთის ქედზე. აქ განლაგებულია 9 მეტეოროლოგიური სადგური. ნალექების

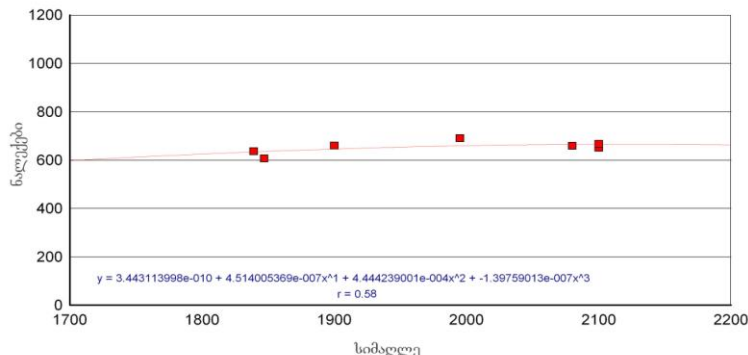
ცვლილება სიმაღლის მიხედვით, შესაბამისი პოლინომი და კორელაციის კოეფიციენტი ნაჩვენებია ნახ. 1.3.6, 1.3.7, 1.3.8, 1.3.9, 1.3.10 -ზე.

1-რაიონი



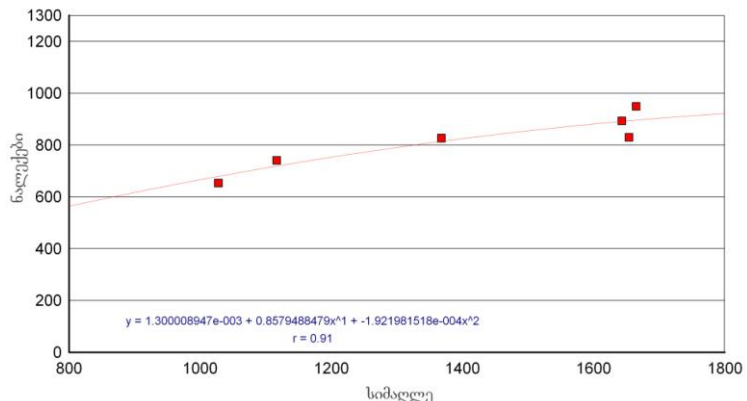
ნახ.1.3.6. ნალექების ცვლილება სიმაღლის მიხედვით.
ძებულო-ჯავახეთი, 1- რაიონი

2-რაიონი



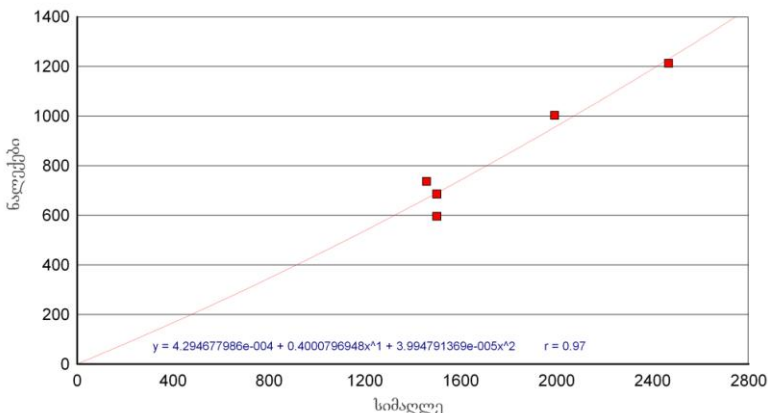
ნახ.1.3.7. ნალექების ცვლილება სიმაღლის მიხედვით.
ძებულო-ჯავახეთი, 2- რაიონი

3-ტაიონი

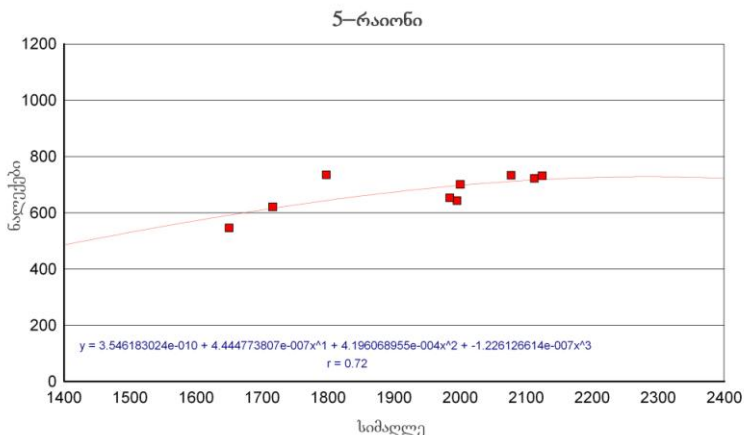


ნალექების ცვლილება სიმაღლის მიხედვით.
ძებეჯო-ჯავახეთი, 3- რაიონი

4-ტაიონი



ნალექების ცვლილება სიმაღლის მიხედვით.
ძებეჯო-ჯავახეთი, 4- რაიონი



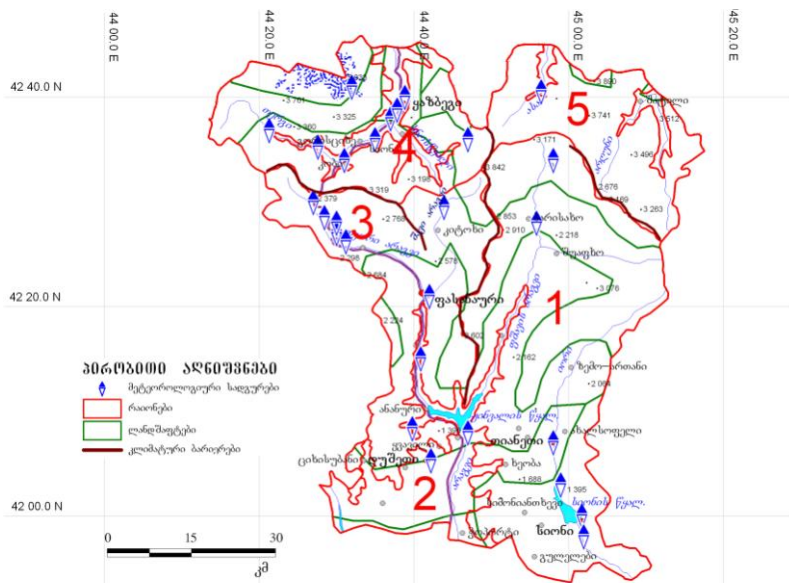
**ნახ.1.3.10. ნალექების ცვლილება სიმაღლის მიხედვით.
გენერაციაზე, 5- რაიონი**

მოცემული მეორე და მესამე რიგის პოლინომებით გამოთვლილია მეტყოროლოგიურ სადგურებში ატმოსფერული ნალექების რაოდენობა, რომელიც კარგ თანხმობაშია ფაქტიურ მონაცემებთან. ცხრილ 1.3.2.-ში მოცემულია სამხრეთ საქართველოს ტერიტორიაზე არსებული მეტყოროლოგიური სადგურების ფენის ყველა ატრიბუტული ინფორმაცია. ანალოგიურად ნალექები-ფორმ ველში მოთავსებულია ატმოსფერული ნალექების გამოთვლითი მნიშვნელობები.

**ცხრ. 1.3.2. სამხრეთ საქართველოს, მესხეთ-ჯავახეთის
ტერიტორიის მეტეოროლოგიური სადგურების ატრიბუტული
ინფორმაცია**

name	Z	Longitude	Latitude	naleqebi	aleqebi_for	ID	Region	Data
ადაკინი	1185	42.7025	41.6778	594	617	260	1	25
აბასოვანი	1265	42.8333	41.75	688	651	236	1	26
არალი	1010	42.8333	41.65	502	539	273	1	14
ახალგოხე	982	43	41.6333	554	526	276	1	17
აწყერი	970	43.1667	41.7333	576	520	240	1	32
ტერაზი რაზ	1654	43.5076	41.7486	829	893	237	3	15
ოშირა	1250	43.2501	41.6206	582	644	280	1	15
ასპინძა	1098	43.2563	41.5749	520	578	286	1	25
სეროვასი	1124	43.3296	41.4138	498	590	296	1	23
სულდა	2124	43.328	41.2722	731	718	321	5	18
ბარეჯომი	789	43.3916	41.8351	653	434	218	1	73
ღვაძენი	1368	43.4578	41.7559	826	814	232	3	10
კახისუკარი	1643	43.4535	41.7291	893	891	241	3	12
(კეში)	1117	43.4651	41.799	740	719	226	3	50
წალეპირი	1028	43.4833	41.8	653	679	227	3	13
ახალქლაპი	1716	43.4867	41.3955	621	616	307	5	17
კანიერა	2000	43.5249	41.2864	701	698	318	5	20
არაკი	1650	43.4976	41.484	546	592	297	5	20
ტერინი არ	1665	43.51	41.7398	949	896	243	3	53
ბარატონება	2077	43.6555	41.2398	733	712	324	5	37
ტაბაწური	1995	43.6272	41.6652	643	696	267	5	24
აბული	1984	43.6167	41.4	653	694	308	5	9
ოროლორარი	1847	43.6329	41.292	607	636	319	2	17
სათხე	1839	43.65	41.2833	636	634	322	2	13
არაგალი	1900	43.7597	41.3128	660	646	316	2	25
უფრემოსტა	2112	43.75	41.2	722	717	327	5	39
სალდო	1995	43.7616	41.2996	690	659	320	2	6
ჭავა	2080	43.8	41.4	659	665	309	2	27
ჭავში	1500	43.8941	41.6116	595	690	281	4	22
შარლოსსხეული	2100	43.8333	41.4	651	666	310	2	8
როდონიუსტ	2100	43.8514	41.4677	667	666	300	2	18
წალენი	1457	44.0906	41.5985	736	668	283	4	35
ტელასი	1500	44.137	41.6544	685	690	250	4	25
ოცხი—სალა	1991	43.6299	41.7399	1002	955	244	4	4
მლაშე	1166	42.6923	41.6765	569	608	259	1	11
მინაშე	970	43.056	41.6335	507	520	278	1	11
ცხრწყული	2466	43.5021	41.6674	1212	1230	261	4	8
მერინია	1797	43.5667	41.55	735	643	291	5	15
ზექანისული	2180	42.8641	41.8229	1004	974	217	1	5

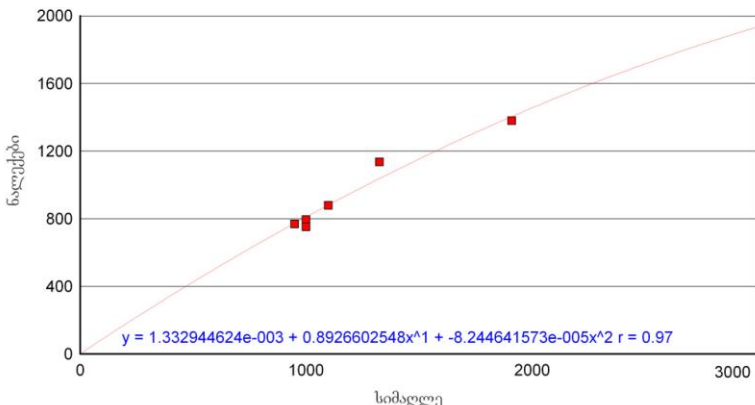
აღმოსავლეთ კავკასიონის ტერიტორია დაყოფილია 5 რაიონად (ნახ. 1.3.11.). პირველი რაიონი აღმოსავლეთიდან შემოსაზღვრულია კახეთის ქედით, დასავლეთიდან გუდამაყრის ქედით და მდინარე არაგვის ხეობით. ჩრდილოეთით საზღვარი გადის კავკასიონის მთავარ ქედზე, ხოლო სამხრეთით თიანეთისა და ლუშეთის რაიონის აღმინისტრაციულ საზღვარზე. ამ რაიონში მოთავსებულია 6 მეტეოროლოგიური სადგური. მეორე რაიონი მოიცავს მდინარე არაგვის ხეობას ზღვის დონიდან 1000 მ. სიმაღლემდე. აქ მდებარეობს 4 მეტეოროლოგიური სადგური.



ნახ. 1.3.11. აღმოსავლეთ კავკასიონის დარაიონება

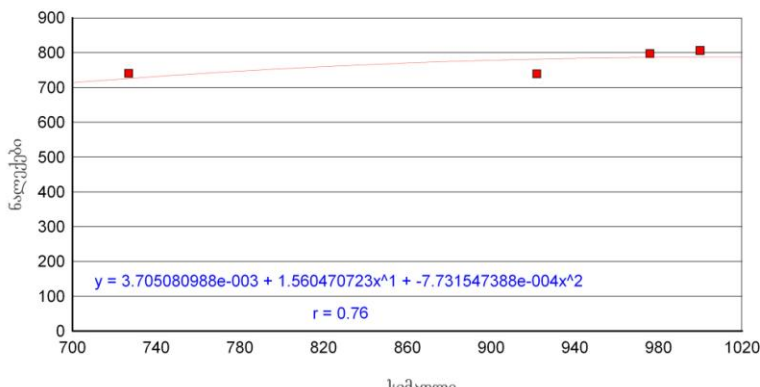
მესამე რაიონი აღმოსავლეთით, დასავლეთით და ჩრდილოეთით შემოსაზღვრულია გუდამაყრის, ლომისის და მთიულეთის ქედებით, სამხრეთით კი მოიცავს მდინარე არაგვის ხეობას ზღვის დონიდან 1000 მ. სიმაღლის ზემოთ. ამ რაიონში 7 მეტეოროლოგიური სადგურია. მეოთხე რაიონი მოიცავს მდინარე თერგის და სნოსწყალის ხეობებს ზღვის დონიდან 2200 მ. სიმაღლემდე და მდინარე ასსას და არაუნის ხეობებს ზღვის დონიდან 1900 მ. სიმაღლემდე. ამ რაიონში 7 მეტეოროლოგიური სადგურია მოთავსებული. მეხუთე რაიონი ვრცელდება კავკასიონის მთავარი ქედის ჩრდილოეთით საქართველოს სახელმწიფო საზღვრამდე მდინარე თერგის, სნოსწყალის, ასსას და არაუნის ხეობების აღნიშნული ტერიტორიების გამოკლებით. ამ რაიონში 3 მეტეოროლოგიური სადგურია. ნალექების ცვლილება სიმაღლის მიხედვით, შესაბამისი პოლინომი და პორელაციის კოეფიციენტი ნაწვენებია ნახ. 1.3.12 , 1.3.13 , 1.3.14 , 1.3.15 , 1.3.16 -ზე.

რაიონი-1

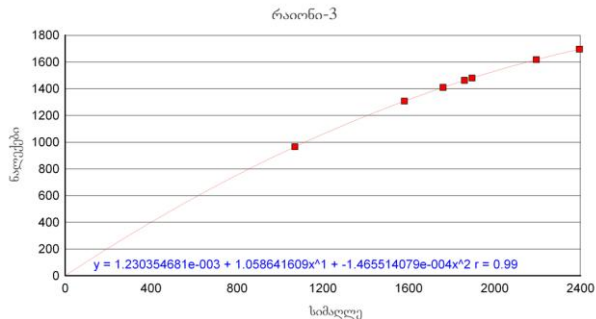


ნახ.1.3.12. ნალექების ცვლილება სიმაღლის მიხედვით.
აღმოსავლეთ კავკასიონი, 1- რაიონი

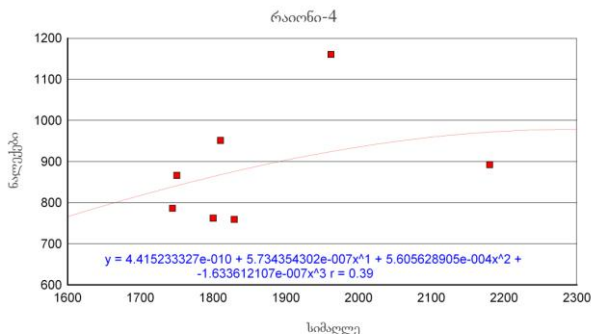
რაიონი-2



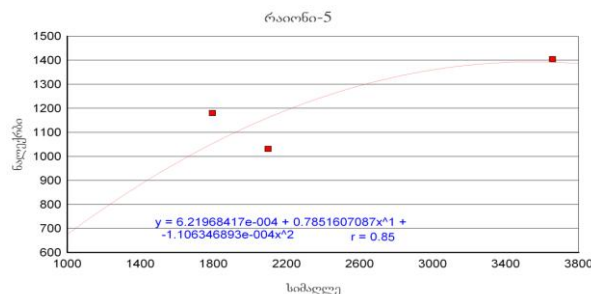
ნახ.1.3.13. ნალექების ცვლილება სიმაღლის მიხედვით.
აღმოსავლეთ კავკასიონი, 2- რაიონი



ნაბ.1.3.14. ნალექების ცვლილება სიმძლის მიხედვით.
აღმოსავლეთ კავკასიონი, 3- რაიონი



ნაბ.1.3.15. ნალექების ცვლილება სიმძლის მიხედვით.
აღმოსავლეთ კავკასიონი, 4- რაიონი



ნაბ.1.3.16. ნალექების ცვლილება სიმძლის მიხედვით.
აღმოსავლეთ კავკასიონი, 5- რაიონი

მოცემული მეორე და მესამე რიგის პოლინომებით გამოთვლილია მეტეოროლოგიურ სადგურებში ატმოსფერული ნალექების რაოდენობა, რომელიც კარგ თანხმობაშია ფაქტიურ მონაცემებთან. ცხრილ 1.3.3.-ში მოცემულია არაგვის ხეობაში არსებული მეტეოროლოგიური სადგურების ფენის კვლა ატრიბუტებით ინფორმაცია. ანალოგიურად Naleqebi-form ველში მოთავსებულია ატმოსფერული ნალექების გამოთვლითი მნიშვნელობები.

ცხრილი. 1.3.3. აღმოსავლეთ კავკასიონის ტერიტორიის მეტეოროლოგიური სადგურების ატრიბუტებით ინფორმაცია

Name	Z	Longitude	Latitude	naleqebi	naleqebi_form	ID	Region
ტბი	2100	44.3548	42.614	1031	1161	31	5
ჯვრის უდ.	2395	44.45	42.5	1733	1695	57	3
კამისიციახე	1860	44.5	42.45	1354	1462	71	3
ვაჟავარი	2194	44.5	42.467	1585	1617	63	3
წყერე	1895	44.4742	42.4758	1557	1480	59	3
კოძი	1962	44.517	42.567	1160	924	50	4
სორი	1829	44.583	42.6	759	876	40	4
არშა	1800	44.617	42.633	762	864	35	4
თანდილაათ ჭარია	976	44.6636	42.1395	797	787	130	2
გაზეური ჭყაფო	1744	44.6471	42.6671	786	838	28	4
ანაური	1000	44.6817	42.2504	806	787	111	2
დუმეთი	922	44.7034	42.0882	739	782	141	2
ფასნაურია	1070	44.7	42.35	999	965	95	3
ჭანჭალი	727	44.783	42.133	740	726	131	2
სიონმტკინი	1000	45.0289	42.0005	794	810	168	1
თასნეთი	1099	44.967	42.117	878	881	133	1
წინხაღუ	1910	44.967	42.567	1380	1404	47	1
ორხევი	950	45.033	41.967	768	774	183	1
ოქროცხანა	2180	44.4602	42.5882	892	972	43	4
მლოცვა	1580	44.5206	42.4372	1315	1307	78	3
სნი	1750	44.631	42.6471	866	841	41	4
ბარისახო	1325	44.9311	42.467	1136	1038	64	1
ბურსაჩილი	1760	44.7318	42.492	1400	1409	60	3
ახილი	1810	44.9411	42.6762	951	868	29	4
კულმარიო(ლელოვანი)	1000	44.9833	42.05	752	810	154	1
ჭაზეური ჭემო	3656	44.5333	42.6833	1404	1392	27	5
როჭა ჭედა	1795	44.7833	42.6	1180	1053	328	5

1.4 ატმოსფერული ნალექების გეოინფორმაციული გარტოგრაფირება

ჩვენ მოვახდინეთ ატმოსფერული ნალექების გაანგარიშება კონკრეტული მეტეოროლოგიური სადგურებისათვის. კარტოგრაფირებისა და თემატური რუკების

შესადგენად საჭიროა მათი სივრცითი განზოგადება, ანუ მათი გაანგარიშება გაცილებით მეტი წერტილისათვის, რომლებიც მოგვცემს სურათს კონკრეტული ტერიტორიისათვის. რადგანაც კვლევა დაფუძნებულია ატმოსფერული ნალექების უპირველეს ყოვლისა რელიეფთან დამოკიდებულებაზე, ამიტომ საჭიროა გვქონდეს რელიეფის ციფრული მოდელი. მართალია ჩვენ გვაქვს იზოხაზების ფენა რომელსაც გააჩნია აგრეთვე ინფორმაცია ზღვის დონიდან სიმაღლის შესახებ, მაგრამ ინტერპოლირებისათვის აუცილებელია რელიეფის წერტილოვანი ფენის არსებობა რადგანაც იზოპიეტების გატარება მოხდეს წერტილზე არსებული ინფორმაციის საშუალებით. ძირითადად ცნობილია ასეთი მოდელის ორი სახე: DTM – იგი წარმოადგენს რელიეფის რეგულარულ მოდელს, სადაც წერტილებს შორის მანძილი მკაცრადაა განსაზღვრული და ყველა მიმართულებით ერთნაერია. ასეთი მოდელის აგება შესაძლებელია კოსმოსური ან აერო ფოტოსურათების ფოტოგრამეტრიული დამუშავების გზით; TIN – რელიეფის არარეგულარული მოდელია, სადაც წერტილებს შორის მანძილი წინასწარ არ არის განსაზღვრული და იცვლება რელიეფის ფორმის მიხედვით. ასეთი მოდელის აგება შესაძლებელია როგორც კოსმოსური ან აერო ფოტოსურათების ფოტოგრამეტრიული დამუშავების გზით, ასევე შემცველი არსებული ტოპოგრაფიული რუკების დიგიტალიზაციის საშუალებით. ჩვენს შემთხვევაში ამოცანის გადასახრელად დავექრდნობით რელიეფის არარეგულერულ მოდელს (TIN).

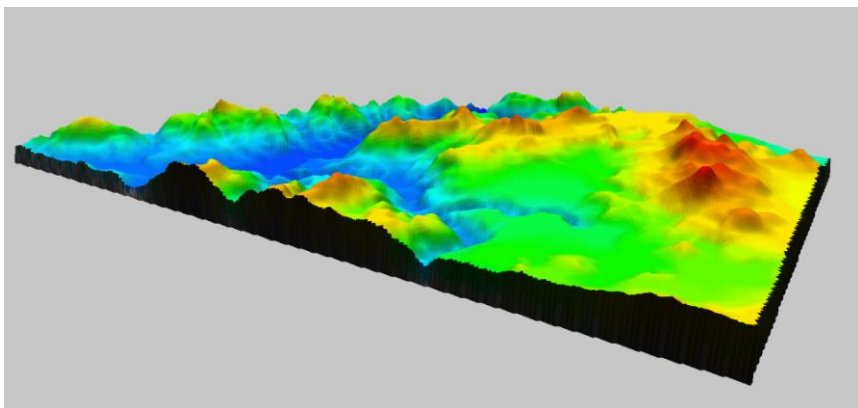
რელიეფის ციფრული მოდელის ასაგებად, შევქმნით ფენა iso_line სადაც მოთვესტულია ყველა ის ფენა რომლებსაც გააჩნიათ სიმაღლის ატრიბუტული ინფორმაცია (iso, lakes, sea, tops) . ფენა lakes როგორც აღნიშნეთ პოლიგონალურია, ამიტომ პირველ რიგში მოხდა მისი ობიექტების კონვერტირება ხაზოვან ობიექტებად. შემდგომში MapInfo v.7.5 –ის არასტანდარტული მოდულ OBJ_CONV – ის გამოყენებით, რომლის ფუნქციაა ხაზოვანი ობიექტების კონვერტირება წერტილოვან ელემენტებად, ისე რომ შენარჩუნებული იყოს ობიექტზე არსებული ატრიბუტული ინფორმაცია, შეიქმნა რელიეფის წერტილოვანი ფენა iso_point. სადაც იზოპიფსების, ტბების და ზღვის სანაპირო ზოლის ყოველ საკვანძო წერტილში მიღებულია წერტილოვანი ობიექტი, მასზე არსებული გეოგრაფიული კოორდინატებითა და სიმაღლის ატრიბუტული ინფორმაციით. ასეთი წერტილების რაოდენობა

და მათ შორის მანძილი საკვლევი ტერიტორიების მიხედვით მოყვანილია ცხრილ 1.4.1 –ში. წერტილებს შორის მანძილი როგორც აღნიშნეთ იცვლება რელიეფის ფორმისა და ფერდობის ექსპოზიციის მიხედვით. ამდენად, მიღებულია რელიეფის არარეგულარული მოდელი (TIN).

iso_point ფენაში არსებულ წერტილოვან ობიექტებს აქვთ ატრიბუტები ინფორმაცია შემდეგ ველებში: **Elev-** სიმაღლე ზღვის დონიდან მეტრებში; **region-** იმ რაიონის ნომერი რომელშიაც მოთავსებულია კონკრეტული წერტილი; **Longitude\Latitude** გეოგრაფიული კოორდინატები, გრძელი და განედი. რელიეფის ციფრული მოდელის ფრაგმენტი ნაჩვენებია ნახ.1.4.1. –ზე.

ცხრ. 1.4.1. წერტილების რაოდენობა და მათ შორის მანძილი
საკვლევი (**iso_point** ფენაში) ტერიტორიების მიხედვით

საკვლევი ტერიტორია	წერტილების რაოდენობა	მანძილი წერტილებს შორის (კმ)
აჭარის ავტონომიური რესპუბლიკა	43442	0.2 – 11
სამხრეთ საქართველო, მესხეთ-ჯავახეთი	51988	0.2 - 14
აღმოსავლეთ კავკასიონი	42823	0.2 - 5

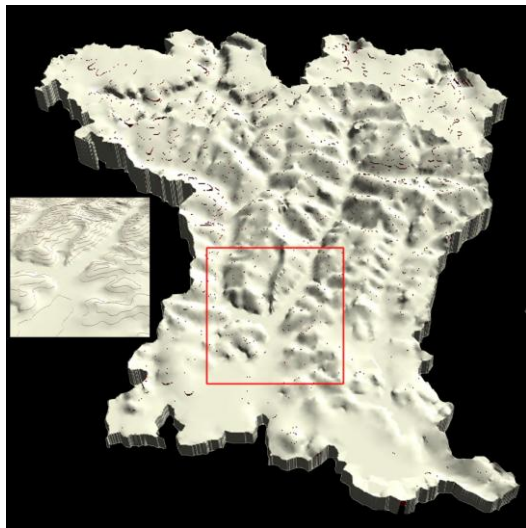


ნახ. 1.4.1. რელიეფის ციფრული მოდელი, მდ. მტკვრის ხეობა
სამხრეთ საქართველოში

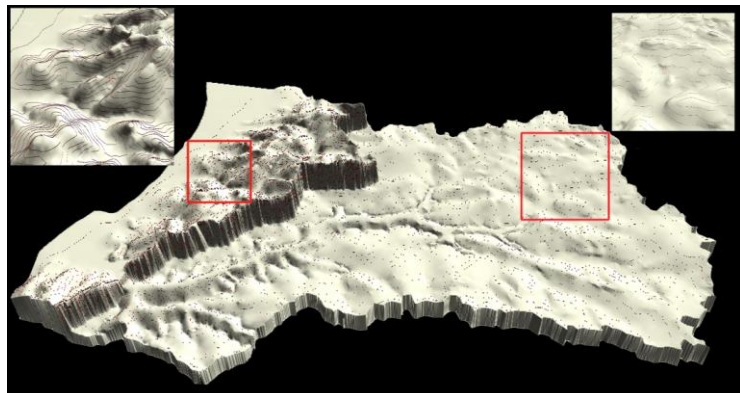
ატმოსფერული ნალექების გამოთვლითი მნიშვნელობები, რომლებიც მივიღეთ კონკრეტული მეტეოროლოგიური სადგურებისთვის, უნდა განვავრცოთ მთელი ტერიტორიებისათვის რელიეფის ციფრულ მოდელზე დაყრდნობით. ამისათვის iso_point ფენას ატრიბუტულ ცხრილში დავაძმატეთ ველი naleqebi . ამ ველში იმისდა მიხედვით თუ რომელ რაიონში მდებარეობს მოცემული წერტილი, შესაბამისი განტოლების საშუალებით დავიანგარიშეთ ატმოსფერული ნალექების რაოდენობა. ფენა გადაყვანილია UTM_84 კოორდინატთა სისტემაში, რადგან პროგრამული უზრუნველყოფები რომლებიც აკეთებენ ინტერპოლაციებას წერტილებს შორის მუშაობებს მხოლოდ მეტრული კოორდინატთა სისტემებისათვის, Longitude/Latitude ველებში გეოგრაფიული კოორდინატები გრძედი და განედი რომლებიც მოცემულია გრადუსებში მოდულ Coordinate Extractor-ის გამოყენებით შეცვლილია მეტრული კოორდინატებით და ფენა ექსპორტირებულია MapInfo Interchange (*.mif) ფორმატში.

თანამედროვე ციფრულ კარტოგრაფიაში იზოხაზების ავტომატურ გატარებას დიდი მნიშვნელობა აქვს, რათა გამოირიცხოს მკვლევარის სუბიექტური აზრი. ასეთი პროგრამები , რომლებიც აკეთებენ ინტერპოლაციებას წერტილებს შორის, დღისათვის მრავლად არსებობენ. ჩვენი კვლევის ამ ნაწილის შესრულება კი გადავწევიტეთ კომპანია Leica-ს პროდუქტ ERDAS IMAGINE 8.7-ის გამოყენებით. ERDAS IMAGINE წერტილოვანი ფენის საფუძვლზე, ატრიბუტული ინფორმაციის ნებისმიერი ველის მითითებით ქმნის როგორც იზოხაზების ხაზოვან ფენას, ასევე საკვლევი ტერიტორიის სამგანზომილებიან სივრცით მოდელს. აღსანიშნავია აგრეთვე, რომ პროგრამას შეუძლია თითქმის ყველა გაფართოვების გრაფიული ფაილის იმპორტ-ექსპორტი.

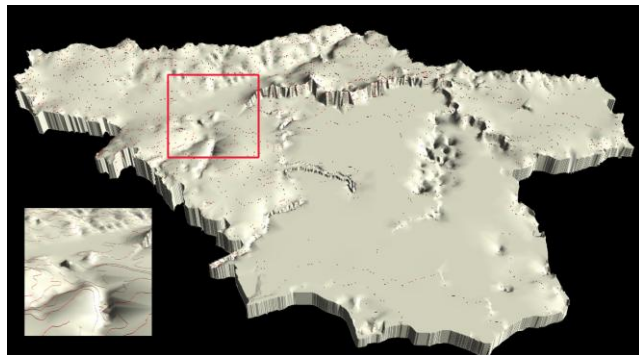
საკვლევი ტერიტორიებისათვის არსებული mif-ფორმატის ფაილები იმპორტირებულია ERDAS IMAGINE-ში Arc Coverage გაფართოებით, რის საფუძველზეც აგებულია იზოპიეტების (Shapefile) და ატმოსფერული ნალექების სამგანზომილებიანი რუკები (IMAGINE image). შედეგები ნაჩვენებია ნახ.1.4.2, 1.4.3, 1.4.4-ზე.



ნახ. 1.4.2 აგმოსფერული ნაღვექების სამგანზომილებიანი და
იზოტოპული რუკა ERDAS IMAGINE 8.7 ში. აღმოსავლეთ
კავკასიონი

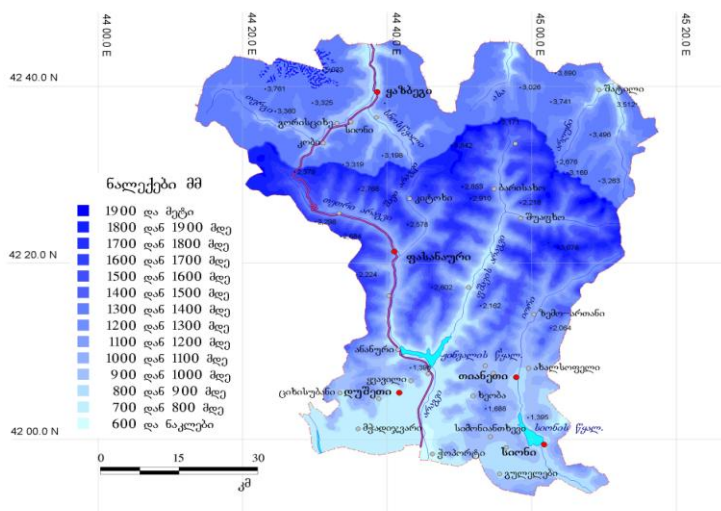


ნახ. 1.4.3 აგმოსფერული ნაღვექების სამგანზომილებიანი და
იზოტოპული რუკა ERDAS IMAGINE 8.7 ში. აჭარის
ავტომომიური რესპუბლიკა

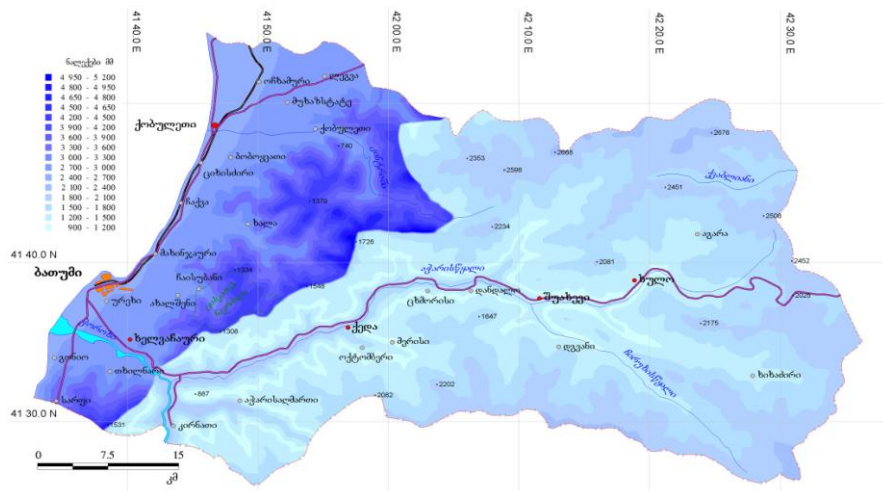


*ნახ. 1.4.4 ატმოსფერული ნალექების
სამგანზომილებიანი და იზოპიეგების რუკა ERDAS IMAGINE 8.7
შო. სამხრეთ საქართველო, მესხეთ ჯავახეთი*

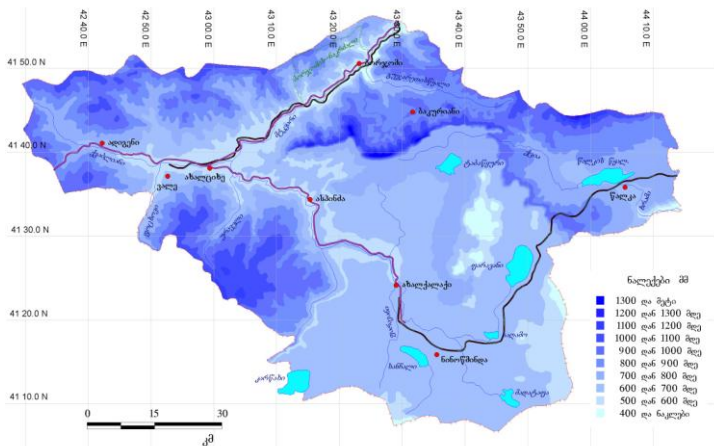
მიღებული იზოპიეგების რუკები, წარმოადგენს საზოვან ფენას ცნობილი Shapefile-ის სახით. იგი არ არის სრულყოფილი გრაფიკული მასალა, რადგანაც მასში არსებული ობიექტები მოითხოვენ რედაქტირებას. ამიტომ პროგრამა Autocad 2000ის გამოყენებით მოვახდინეთ საზოვანი ფენის ელემენტების დახვეწა, ტოპოლოგიური შეცდომების გასწორება რის შემდეგაც ფენა კვლავ იქნა ექსპორტირებული Map Info -ში. აქ უკვე საზოვანი ფენიდან შეიქმნა პოლიგონალური ფენა და ავაგეთ ატმოსფერული ნალექების თემატური რუკები, რომლებიც ნაჩვენებია ნახ. 1.4.5, 1.4.6, 1.4.7-ზე.



ნახ. 1.4.5 აგმოსფერული ნალექების თემატიკური რუკა,
აღმოსავლეთ კავკასიონი



ნახ. 1.4.6 აგმოსფერული ნალექების თემატიკური რუკა, აჭარის
ავტონომიური რესპუბლიკა



ნახ. 1.4.7 ატმოსფერული ნალექების თემატური რუკა, ხამჩევო ხაქართველო, ძებეჯო ჯავახეთი

1.5 გეოინფორმაციული რუკის შესაბამისობა იზოპიეტების რუკებთან

იმისათვის, რომ დავადგინოთ, თუ რამდენად შეესაბამება რეალობას წვენს მიერ მიღებული გეოინფორმაციული რუკები, საჭიროა შევადაროთ ისინი მანამდე არსებულ იზოპიეტების რუკებს, რომლებიც დღემდე საიმედოდ ითვლებოდნენ და გამოიყენებოდნენ სამეცნიერო-პრატიკულ ამოცანებში. ასეთი რუკები საქართველოს ტერიტორიისათვის მრავალია და შედგენილია სხვადასხვა დროს შ. ჯავახიშვილის, კ. გოგიშვილის, მ. ხვითიას, ე. ელიზბარაშვილის, ლ. პაპინაშვილის და სხვათა მიერ. ამ რუკებზე აჭარის ტერიტორია ძალზე წვრილ მასშტაბშია წარმოდგენილი და ცხადია, რომ მისი საფუძვლად აღება მიზანშეუწეველია. ამიტომ წვენ მიზნად დავისახეთ წვეულებრივი კლასიკური მეთოდების გამოყენებით შეგვედგინა აჭარის ტერიტორიის იზოპიეტების რუკა შედარებით მსხვილ მასშტაბში (1:350 000) (ნახ.1.5.1).

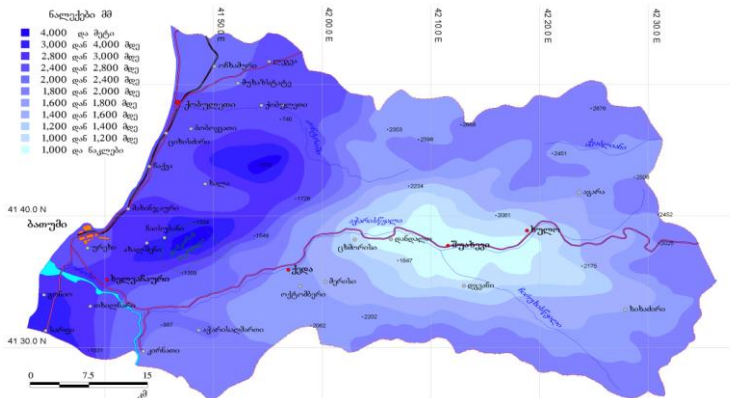
ამ რუკის მიხედვით ნალექების წლიური ჯამები აჭარის ტერიტორიაზე დიდ ფარგლებში მერყეობს – 1000 მმ-დან 4500 მმ-მდე. ზღვის სანაპირო ზოლში ნალექების რაოდენობა შეადგენს 2400-3000 მმ-ს. ზღვიდან დაშორებისას და სიმაღლის ზრდასთან ერთად ნალექების რაოდენობა იზრდება და

მაქსიმუმს – 4000-4500 მმ-ს – აღწევს მესხეთის ქედის სამხრეთ-დასავლეთ კალთებზე. უმცირესი ნალექები მოდის მდინარე აჭარისწყლის ზემო წელში, სადაც ნალექების წლიური ჯამი კლებულობს 1000 მმ-მდე. მესხეთის, შავშეთის და არსიანის ქედების ზედა სარტყლებში ნალექები იზრდება 1800 მმ-მდე. გეოინფორმაციული კარტოგრაფიული საფუძველზე შედგენილ რუპა (ნახ. 14.6) ძირითადად გამოსახავს ნალექების განაწილების იგივე კანონზომიერებებს.

ამავე დროს ტერიტორიის ცალკეულ რაიონებში განსხვავებული სურათი აღინიშნება. ასე მაგალითად ზღვის სანაპირო ზოლში ნალექების რაოდენობა 2550-3150 მმ-ია, ხოლო მესხეთის ქედის სამხრეთ-დასავლეთ კალთებზე მაქსიმუმი 5100 მმ-ს აღწევს. მინიმუმი მდინარე აჭარისწყლის ხეობაში გვხვდება, აღსანიშნავია, რომ აյ ნალექების რაოდენობა ზღვის დონიდან 200-250 მეტრამდე 1800-1950 მმ-ს შეადგენს, შემდგომ

ზღვის დონიდან 800 მეტრამდე მცირდება და მინიმუმს 600-800 მეტრ სიმაღლეზე 1050 მმ-ს და ნაკლებს შეადგენს, რის შემდეგაც ატმოსფერული ნალექები სიმაღლის ზრდასთან ერთად იზრდება. მესხეთის, შავშეთის და არსიანის ქედების ზედა სარტყლებში ნალექები იზრდება 2250 მმ-მდე.

**თუ დავუბრუნდებით გეოინფორმაციული მეთოდებით
ნახ.15.1 ატმოსფერული ნალექები. მმ. წელი**



ნახ.15.1 ატმოსფერული ნალექები. მმ. წელი
და ჩვენს მიერ შედგენილ რუპას (ნახ. 14.6) დავრწმუნდებით რომ ამ ორივე რუპაზე ნალექების განაწილების ძირითადი

ნიშნები ერთნაირია. მაგრამ ამავე დროს გეოინფორმაციული რუკა უფრო დეტალურია რადგანაც ითვალისწინებს მთის რელიეფის როტულ მორფომეტრიას და ძირითად კლიმატურ ბარიერებს. ამრიგად შეგვიძლია დავასკვნათ, რომ გეოინფორმაციული კარტოგრაფიული საშუალებას გვაძლევს შევადგინოთ ნალექების საკმაოდ ზუსტი რუკები როტული რელიეფის პირობებში.

1.6 საქართველოს ტერიტორიაზე ატმოსფერული ნალექების სივრცითი განაწილების მოდელი

საქართველოს ცალკეული მთიანი რაიონებისათვის ნალექების დეტალური მოდელური ველების შედგენის შემდეგ მიზნად დავისახეთ არსებული იზოპიეტების რუკის საფუძველზე, პირველ მიახლოვებაში, შეგვედგინა საქართველოს ტერიტორიაზე ნალექების განაწილების ზოგადი მოდელი. ამისათვის საწყის მასალად გამოვიყენეთ საქართველოს მეცნიერებათა აკადემიის პიდრომეტეოროლოგიის ინსტიტუტში შედგენილი იზოპიეტების რუკები მასშტაბში 1 : 1 000 000 (აგრორები კ. ელიზბარაშვილი, ლ. პაპინაშვილი).

იზოპიეტების რუკების მარტივი ანალიზი გვიჩვენებს, რომ ნალექების ცვლილებას დასავლეთიდან აღმოსავლეთით პარალელის გასწვრივ და აგრეთვე სამხრეთიდან ჩრდილოეთი მერიდიანის გასწვრივ ტალღოვანი ხასიათი გააჩნია, რაც უპირველეს ყოვლისა რელიეფის მიერ გამოწვეული შეშფოთებების შედეგია. მაგალითად, ასეთი შეშფოთებები შეესაბამება მესხეთის, არსიანის, სამსარის, გომბორის და სხვ. ქედებს. ამრიგად, ყველა შემთხვევაში, სწორედ რელიეფის შედეგად გამოწვეული შეშფოთებების შედეგად, ნალექების განაწილება პარალელებისა და მერიდიანების გასწვრივ არაწრფივ ხასიათს ატარებს.

ნალექების განაწილება პარალელის გასწვრივ დასავლეთიდან აღმოსავლეთით ზოგადად წარმოვიდგინოთ შემდეგი მოდელი:

$$Q = \sum_{i=1}^n a_i \lambda^i, \quad 1.6.1$$

სადაც $-\lambda$ გეოგრაფიული გრძელია, ხოლო a_i – რეგრესიის კოეფიციენტებია. ეს უკანასკნელი იცვლებიან

გეოგრაფიულ განედზე დამოკიდებულებით და ამდენად განედის ფუნქციას წარმოადგენენ. რეგრესიის ცვლილება გეოგრაფიულ განედზე დამოკიდებულებით შეიძლება აღწერილ იქნას აგრეთვე ანალოგიური გამოსახულების მრავალწევრით:

$$a_i = \sum_{k=0}^m b_k \varphi^k, \quad 1.6.2$$

სადაც φ - გეოგრაფიული განედია, b_0 და b_k – რეგრესიის კოეფიციენტებია.

(1.6.1) და (1.6.2)-ის გათვალისწინებით ნალექების სივრცითი გელის მოდელი ზოგადი სახით ჩაიწერება შემდეგნაირად:

$$Q = \sum_{i=0}^n \sum_{k=0}^m b_k \varphi^k \lambda^i \quad 1.6.3$$

(1.6.3.) მოდელით შეიძლება ატმოსფერული ნალექების სივრცითი გელის აღწერა და გამოკვლევა ნებისმიერ, მათ შორის მთიან პირობებში. ფორმულაში ადგილის სიმაღლე ცხადი სახით არ შედის, მაგრამ ის გათვალისწინებულია რეგრესიის კოეფიციენტებში, რადგანაც ნალექების რაოდენობა უშუალოდ დედამიწის ზედაპირზე იზომება. ემპირიული მოდელით ველის აღწერის სიზუსტეს განსაზღვრავს მრავალწევრის რიგი, მაგრამ ამავე დროს მაღალი რიგის მრავალწევრის მოდელად გამოყენების პრაქტიკული შესაძლებლობები ძალზე შეზღუდულია, ხოლო დაბალი რიგის მრავალწევრს დიდი ცდომილებები შეაქვს მოდელში.

სწორედ ამიტომ ჩვენ შემოვისაზღვრეთ მეორე რიგის ფუნქციებით და მივიღეთ შემდეგი მოდელი:

$$\begin{aligned} Q = & 58825 - 39008 \bar{\varphi} + 6240 \bar{\varphi}^2 - 22576 \bar{\lambda} + 11628 \bar{\varphi} \bar{X} - \\ & 816 \bar{\varphi}^2 \bar{X} + 461 \bar{X}^2 + 1012 \bar{\varphi} \bar{X}^2 - 528 \bar{\varphi}^2 \bar{X}^2 \end{aligned} \quad 1.6.4$$

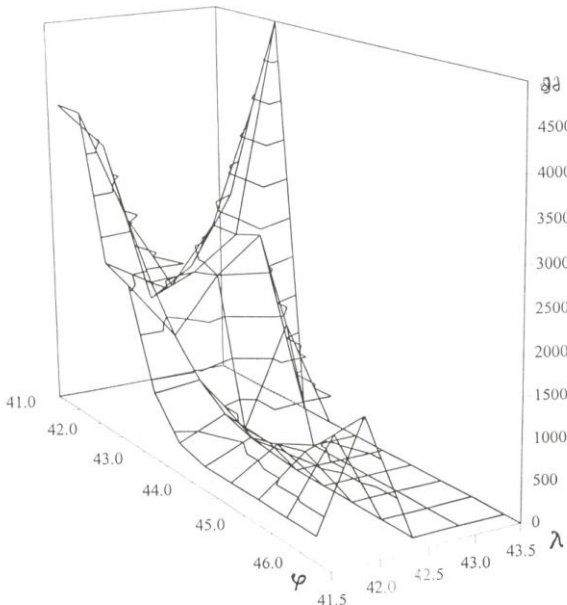
სადაც, $\bar{\varphi} = \varphi - 40^\circ$, $\bar{X} = X - 40^\circ$.

მოდელი 1.6.4 შედგენილია იზოპიეტების რუკის საფუძველზე ბიჯით 0,5 და ცხადია მასში რელიეფი ძალზე ზოგადად არის გათვალისწინებული. ამიტომაც, ის ვერ გამოსახავს ნალექების რაოდენობას პონქრეტულ პუნქტში, არამედ იძლევა მხოლოდ ნალექების ზოგად ფონს და ნალექების განაწილების ზოგად სურათს. განსხვავებანი მოდელურ და ფაქტურ მონაცემებს შორის განპირობებულია იმ

მეზო- და მიკროკლიმატური პირობებით, რაც არ არის გათვალისწინებული მოდელში.

შედარებით კარგი მოდელის მიღება შეიძლება თუ გავზრდით მრავალწევრის რიგს 6-8 მდე, რაც პრაქტიკულად მიზანშეუწონელია, ან მას საფუძვლად დავუდებთ შესაბამის კარტოგრაფიულ საფუძველს, რომლის შედგნა გათვალისწინებულია მომავალში.

მიუხედავად ამისა მიღებული მოდელი სავსებით დამაკმაყოფილებულად ასახავს საქართველოს ტერიტორიაზე ნალექების ფონურ ველს და ამ ველისათვის დამახასიათებელ ძირითად კანონზომიერებებს. ეს კარგად ჩანს ნახ. 1.6.1-ზე წარმოდგენილი მოდელური ველიდან, რომელიც აგებულია 1.6.4. მოდელით. ნახ-ზე წარმოდგენილი მოდელური ზედაპირი ხარისხობრივად გამოსახავს ყველა იმ ძირითად თვისებებს, რაც დამახასიათებელია ატმოსფერული ნალექების სივრცითი განაწილებისათვის საქართველოს ტერიტორიაზე.



ნახ.1.6.1 ატმოსფერული ნალექების მოდელური ველი საქართველოს ტერიტორიისათვის

კერძოდ, ნალექების დაბალი დონე კოლხეთის სანაპირო ზოლში აჭარასა და აფხაზეთთან შედარებით, ნალექების კლება აღმოსავლეთ საქართველოში და შემდეგ ზრდა აღმოსავლეთ კავკასიონზე, აგრეთვე ძალიან მცირე ნალექები შირაქის ვაკეზე და ნალექების კლება მთათუშეთში და ა. შ.

თავი II. ატმოსფერული ნალექების მრავალწლიური ცვლილების მათემატიკური მოდელირება

2.1 ატმოსფერული ნალექების გლობალური ცვლილება

არსებული მრავალრიცხოვანი გამოკვლევების თანახმად ატმოსფერული ნალექების გლობალური ცვლილება ექვემდებარება ზოგად დებულებას, რომლის თანახმადაც ტემპერატურის მერიდიანული გრადიენტის შეცვლისას, რაც დაკავშირებულია გლობალური დათბობის ან აცივების პროცესების გააქტიურებასთან, იცვლება ოკეანეებიდან წყლის ორთქლის გადმოტანის ინტენსივობა. კერძოდ, გრადიენტის შემცირება იწვევს წყლის ორთქლის ნაკადების შემცირებას და შესაბამისად ნალექების დაკლებას, ხოლო გრადიენტის გაზრდა – პირიქით, იწვევს წყლის ორთქლის ნაკადების და შესაბამისად ნალექების გაზრდას. სწორედ ამ დებულების თანახმად იქნა ახსნილი ნაკადების შემცირება ზომიერ განედებში 1891-1973 წლებში.

ნალექების ცვლილების ეს მექანიზმი მ. ბუდიკომ (1974) შეამოწმა აღმოსავლეთ ევროპისა და ჩრდილოეთ ამერიკის მაგალითებზე. კავშირი ამ ორი რეგიონის დანესტიანების რეჟიმებს შორის აღმოჩნდა საკმაოდ მჭიდრო, კორელაციის კოეფიციენტი უდრიდა 0.74-ს. ამ მექანიზმის სისწორე დადასტურა აგრეთვე ჰ. ლანდცებერგმა (1970). მან მიიღო, რომ ნალექების რაოდენობა ამერიკის შეერთებული შტატების ტერიტორიის დიდ ნაწილზე 1906-1930 წლებში გაცილებით მეტი იყო, ვიდრე 1931-1955 წლებში, რაც ტემპერატურის გრადიენტის ცვლილებით ახსნა.

შემდგომა გამოლვლევებმა ცხადჰყვეს, რომ ნალექების ცვლილების წამოყენებული მექანიზმი ძალზე მარტივია (М.И.Будыко и др., 1978., Н.Н.Ламв, 1972., И.С.Глух, Н.К.Конова, 1978., Г.В.Груза, Е.Н.Апасова, 1981., Г.В.Груза, и др., 1977) და რომ

კავშირი ტემპურატურასა და ნალექებს შორის ცალსახა არ არის.

ტემპერატურისა და ნალექების რეგვადობას შორის არსებული ასეთი როტული კავშირების ახსნა სცადა ო. დერზდოვმა (1977). მან ნალექების რაოდენობა დაუკავშირა ცირკულაციურ მექანიზმებს და ატმოსფეროს ტენშემცველობას:

$$Q = \alpha \varphi(H),$$

2.1.1

სადაც Q – ნალექების რაოდენობაა, α – ცირკულაციური პარამეტრია, φ – ტენშემცველობაა ატმოსფეროს ვერტიკალურ სვეტში, H - ჟეფარდებითი სინორტივის ფუნქციაა, რომელიც განსაზღვრავს კონდენსაციის დონის სიმაღლეს.

დანესტიანების მდგრადი პირობებისათვის, როდესაც ადა φ მუდმივებია, ტემპერატურის ზრდასთან ერთად ცხადია იზრდება ატმოსფეროს ტენშემცველობაც, რაც თავის მხრივ ნალექების ზრდას იწვევს. მაგრამ ხშირად ტემპერატურის ზრდასთან ერთად იცვლება კონდენსაციის დონეც და თვით ცირკულაციის პირობებიც, ამიტომ ამ შემთხვევაში ნალექების ცვლილება დამოკიდებულია პროცესის კონკრეტულ სტრუქტურაზე და გეოგრაფიულ პირობებზე.

თერმული რეჟიმის გავლენის შეფასებას ნალექებზე ო. დერზდოვმა შემდგომშიც დაუთმო ყურადღება. 1983 წელს გამოქვეყნებულ შრომაში მან დაასაბუთა, რომ გლობალური ტემპერატურის 2° - ით გაზრდისას ნალექები კლებულობს, ხოლო ტემპერატურის უფრო დიდ ფარგლებში ცვლილებისას, ნალექები იზრდება, რაც კონკრეტური პროცესების გაძლიერებით ახსნა (O.A. დრიდოვ, 1983.).

ამდენად ურთიერთკავშირი ტემპერატურასა და ნალექებს შორის ძალზე როტულია, რაც ამნელებს ნალექების მრავალწლიანი ცვლილების სრულფასოვანი მექანიზმის შემუშავებას.

შსოფლიო მეტეოროლოგიური ორგანიზაციის ეგიდით ჩატარებული უახლესი გამოკვლევების თანახმად ნალექები იზრდება არატროპიკულ ზონაში, ხოლო სუბტროპიკებში კლებულობს (IPCC. Climate change, 1990; 1996). მთლიანად დედამიწისათვის შეიმჩნევა ნალექების ზრდა გლობალური ტრენდით 1 % - ის სიდიდით საუკუნის განმავლობაში.

პ. გროისმანისა და სხვების გამოკვლევების თანახმად, ყოფილი საბჭოთა კავშირის ტერიტორიაზე ნალექები იზრდება საშუალოდ 10 % - ით ეოველ 100 წელიწადში, თუმცა

ცალკეულ რეგიონებში ადინიშნება ნალექების კლება (P.V. Groisman, D.R. Easterling, 1974).

იგივე პ. გროისმანისა და მისი თანაავტორების მონაცემებით ნალექები იზრდება ჩრდილოეთ ამერიკაში, კანადასა და ალიასკაზე (T.R.Kazal, 1993; R.brasin, 1992).

ნალექების ზრდა დაფიქსირებულია აგრეთვე ევროპის ჩრდილოეთ ნაწილში, ნორვეგიის არქტიკულ კუნძულებზე, ისლანდიაში, ფარელის კუნძულებზე, დანიაში, სკანდინავიაში, შოტლანდიაში (R.Brasin, 1992; P.Frich, 1994; I.Haunssen, 1990, 1994; T.Ionson, 1994; K.Smitt, 1995).

ნალექების დაკლება ადინიშნება ფინეთში, ცენტრალურ და სამხრეთ ევროპაში, ჩრდილოეთ და აღმოსავლეთ აფრიკაში, სამხრეთ და სამხრეთ-დასავლეთ აზიაში, ინდონეზიაში, ცენტრალურ ამერიკაში, აღმოსავლეთ აესტრალიაში, ახალ ზელანდიაში (IPCC. Climatechange, 1996; R.Brazil, 1992; T.I.Lans, 1993; R.I.Allan, 1993; S.E. Nicholson, 1994).

არის მთელი რიგი რაიონები, სადაც ნალექების მნიშვნელოვანი ცვლილება არ ადინიშნება. მათ მიეკუთვნება ცანტრალური ევროპა, სამხრეთ ამერიკა, ჩრდილო-აღმოსავლეთი აფრიკა, არაბეთის ნახევარპუნიკული და სხვა (IPCC. Climate change, 1996; I.Bauer-Hanssen, 1994; S.E. Nicholson, 1995).

ამრიგად, ატმოსფერული ნალექების მრავალწლიური ცვლილება ძალზე რთული პროცესია და არ განისაზღვრება ტემპერატურის ცვლილებით, არამედ დამოკიდებულია მრავალ ფაქტორზე, მათ შორის უპირველეს ყოვლისა გეოგრაფიულ პირობებზე და ამ პირობებისათვის დამახსინათებელ ატმოსფეროს ცირკულაციურ ფაქტორებზე.

2.2 საქართველოში ატმოსფერული ნალექების მრავალწლიური ცვლილების შესწავლის თანამედროვე მდგრმარეობა

ატმოსფერული ნალექების მრავალწლიური რყევადობის და ცვლილების კვლევას თავისი ისტორია გააჩნია საქართველოშიც. 1971 წელს გამოქვეყნებულ კოლექტიურ მონოგრაფიაში “ საქართველოს ჰავა და კლიმატური რესურსები ” (1971) აგებული იყო ნალექების 10-წლიანი მცოცავების სვლა საქართველოს 4 პუნქტისათვის – ფოთი, სამტრედია, საქარა და თბილისი, ინსტრუმენტული

დაკვირვებების დაწყებდან 1965 წლამდე პერიოდისათვის და შეფასებული იყო მათი რეგვადობის ციკლები, დიდწლიანი და მცირებულიანი პერიოდები.

კ. გოგიშვილის (1974) გამოკვლევის თანახმად
ნალექების მაღალი დონის ეპოქას შეესაბამება დაბალი
ტემპერატურული ფონი, და პირიქით - ნალექების დაბალი
დონის ეპოქას შეესაბამება მაღალი ტემპერატურული ფონი,
ამრიგად ის თვლიდა, რომ კავშირი ნალექებსა და
ტემპერატურას შორის საქართველოში ცალსახაა.

ლ. პაპინაშვილმა (1980) გამოიკვლია ატმოსფერული ნალექების რყევადობა მთლიანად ამიერკავკასიის რეგიონში. მან მიიღო, რომ მთიან და მაღალმთიან რაიონებში, მთიანი აფხაზეთის გამოკლებით, აგრეთვე სანაპირო ზოლში ნალექების სვლას გააჩნია დადგებითი ტენდენცია. უარყოფითი ტენდენცია აღინიშნება ნალექების სვლაში ქართლის ვაკეზე. მანვე განიხილა ნალექების სხვადასხვა პარამეტრების თანამედროვე რყევადობის ხასიათი და შეადგინა პროგნოზი კოლექტის დაბლობისათვის (Прогноз гидрометеорологических условий Колхидской низменности, 1983). ქ. ჯავახიშვილმა

(1991) თბილისის და ფოთის დაკვირვებათა მონაცემების საფუძველზე შეაფასა ათწლიური მცოცავების დინამიკა და გამოჰყო დიდი და მცირე ნალექიანი პერიოდები, რომლებიც განხილულ პუნქტებში ერთმანეთს არ ემთხვევა.

კ. ალიბეგოვას და კ. ელიზებარაშვილის მონიგრაფიაში (1980) მიღებულია ნალექების დროითი გარიაციის სივრცითი ველები, რომელთა განხილვიდან ჩანს, რომ ნალექების წლიდან წლამდე რყავადობის ხარისხი საქართველოში დასავლეთიდან აღმოსავლეთის მიმართ უდებით იზრდება.

დ. მუმლაძემ (1992) გამოავლინა, რომ დასავლეთ საქართველოს ჭარბად ნოტიო რაიონებში ნალექების წლიური ჯამების მრავალწლიურ სეზოს ზრდის ტენდენცია გააჩნია, ხოლო აღმოსავალეთ საქართველოში – კლების.

კოლექტიურ მონოგრაფიაში “ თბილისის პაგა ” (1992) ლ. პაპინაშვილმა გამოავლინა თოვლის საფარის დღეთა რიცხვის და დეკადური სიმაღლის ქანონზომიერი კლება, რაც ქალაქის ტემპერატურული ფონის გაზრდით ახსნა.

ატმოსფერული ნალექბის
ანალიზისათვის ორიგინალური
განვითარება და

მათ ააგეს ინტეგრალური გასაშუალოებული დროით

ინტერვალში ნალექების რაოდენობის ფუნქცია და გამოავლინეს პერიოდები, როდესაც ნალექები აღემატებოდა ან ნაკლები იყო კლიმატურ ნორმაზე.

ე.ელიოზბარაშვილმა, ჯ.გაჩნაძემ და თ.ალადაშვილმა ნალექების მრავალწლიური რეგალობა თბილისში განიხილეს ატმოსფეროს ცირკულაციის ძირითადი ფორმებისა (ე.ელიოზბარაშვილი, ჯ.გაჩნაძე, თ.ალადაშვილი, 1998) და მზის აქტივობის საუკუნოვანი რეეგადობების ფონზე (E.Elizbarashvili, T.Aladashvili, 1997).

ნ.ბერუჩაშვილმა (1995) ჩაატარა კლიმატის ცვლილების კომპიუტერული ექსპრიმენტები ლანდშაფტურის სტრუქტურის უცვლელობის გათვალისწინებით.

მიუხედავად ზემოდ განხილულ საკმაოდ მრავალრიცხოვანი ლიტერატურისა, საქართველოს ტერიტორიაზე ატმოსფერული ნალექების მრავალწლიური ცვლილების პირველი სივრცითი განხოგადოება მოხერხდა მხოლოდ უქნასენელ წლებში “ კლიმატის ცვლილების კვლევის ეროვნული პროგრამის ” შესაბამისად ჩატარებულ სამუშაოებში. ჩატარებული სამუშაოს შედეგები, რომლებიც გამოქვეყნდა 2 სტატიაში (ე. ელიოზბარაშვილი, ლ.პაპინაშვილი, თ.ხელაძე, 1997; ე.ელიოზბარაშვილი თ.ხელაძე, 1993) შემდეგში მდგრმარეობს:

1. ნალექების წლიური ჯამების მნიშვნელოვან ზრდას აღილი აქვს აჭარის მთიან რაიონებში და შირაქის ველზე. აქ ბოლო 25 წლის მანძილზე წინა 25 წელთან შედარებით წლიური ნალექები გაიზარდა 11 – 13 % - ით. ნალექების ზრდის სიჩქარე მაქსიმალურია ხელოში და ყოველწლიურად საშუალო აღემატება 9 მმ. ს. წლიური ნალექების მნიშვნელოვანი კლება შეინიშნება ცალკეულ მაღალმთიან რაიონებში – ყაზბეგი (19%), გაგრის ქედი და აჭარა-გურიის მთები (10-15%). აქ ნალექების კლების სიჩქარე აგრეთვე 9 მმ.ია წლიწადში. საქართველოს დანარჩენ ტერიტორიაზე წლიური ნალექების ცვლილება არ აღემატება 10%-ს.
2. წლის ცივი პერიოდის ნალექები შირაქის ვაკეზე და აჭარის მთიან რაიონებში გაიზარდა 25-30%-ით. ნალექების ზრდის სიჩქარე 98მ-ს უდრის წლის განმავლობაში. ნალექები მნიშვნელოვნად შემცირდა გაგრის ქედზე (20%), სადაც ნალექების კლების სიჩქარემ შეადგინა 6 მმ.

3. წლის თბილი პერიოდის განმავლობაში ნალექების ზრდის ძირითადი კერა გადანაცვლებულია კოლხეთის დაბლობის ცენტრალურ ნაწილში და ენგურის ხეობაში. აქ ნალექები ბოლო 25 წლიწადში წინა 25 წლითან შედარებით საშუალოდ გაიზარდა 15%-ით, ხოლო ნალექების ზრდის სიჩქარემ შეადგინა 6 მმ. წლიწადში. საჭართველოს ტერიტორიის უდიდეს ნაწილზე თბილი პერიოდის ნალექების კლება აღინიშნება, ყველაზე მკეთრი შემცირება (25%-მდე) დაფიქსირებულია მაღალმთიან ყაზბეგში.

ჩატარებული სამუშაოს ძირითად ნაკლად, რამაც მნიშვნელოვანი გავლენა მოახდინა საბოლოო შედეგებზე, გვიჩვენება 25 წლიანი პერიოდების შერჩევა ნალექების ცვლილების შესაფახულად. ეს პერიოდი ძალზე მცირეა გაბედული დასკვნების მისაღებად ისეთი რთული ელემენტის რეგვადობის შეფასებაში, როგორიც ატმოსფერული ნალექებია. ნალექების სამუშაო კლიმატური ნირშების მისაღებად, ისეთი ავტორიტეტული მეცნიერები, როგორებიც არიან ო. დროზდოვი, ა. ალექსანდრიანი, ც. შვერი, და სხვანი ასაბუთებდნენ 70-80 წლიანი და უფრო მეტი ხანგრძლივობის პერიოდის აუცილებლობას (О.А.Дроздов, А.С.Григорьева, 1971., Ц.А.Швер, 1976., Г.А.Александрян, 1971., О.А.Дроздов, 1964).

საჭკვთა აგრეთვე ნალექების ცვლილების სიჩქარის განსაზღვრა მთელ ინტერვალში წრფივი აპროქსიმაციის საფუძველზე. ეს შენიშვნა თანაბრად ეხება ყველა აღრეულ შრომებსაც, რომლებშიც ნალექების ცვლილების ტენდენციები შეფასებულია წრფივი ფუნქციის საფუძველზე (Климат и климатические ресурсы Грузии, 1971., К.С.Гогишвили, 1974., შჯავახიშვილი, 1991., Л.К.Папинашвили, 1980., А.Б.Багдасарян, 1958).

ტემპერატურისაგან განსხვავებით ატმოსფერული ნალექები წლიდან წლამდე დიდ ფარგლებში მერყეობს. მისი ცვლილება ცალსახად არ განისაზღვრება ტემპერატურის, ან სხვა რაიმე ფაქტორის ცვლილებით. ნალექების მოსვლის ან არმოსვლის ფაქტი, მისი რაოდენობა, განისაზღვრება მრავალი ფაქტორის ერთდროული მოქმედებით და ექვემდებარება სტოქასტიკურ პროცესს, ამიტომ მისი ცვლილების წრფივობის დაშვება უხეში შეცდომაა.

აქედან გამომდინარე მიზნად დაგისახეთ შეგვერჩია ისეთი ზოგადი მოდელი, რომელიც ობიექტურად ასახავდა ნალექების ცვლილებას დროში და განგვეხორციელებინა ის საქართველოს პირობებისათვის.

23. ატმოსფერული ნალექების მრავალწლიური ცვლილება საქართველოს მთიან რაიონებში

წინა პარაგრაფში მოტანილი შენიშვნების გათვალისწინებით, მიზნად დაგისახეთ ჩვენს მიერ შერჩეული მთიანი რაიონებისათვის საფუძვლიანად გამოგვეკვლია ატმოსფერული ნალექების მრავალწლიური ცვლილება, სკეციალური სტატისტიკური პარამეტრების გამოყენებით და შეგვეფასებინა ამ ცვლილებების სტატისტიკური ნიშნადობა.

შეგარჩიეთ ისეთი სადგურებით, რომელთაც შედარებით ხანგრძლივი და საიმედო რიგი გააჩნია. ასეთებია აჭარაში ქედა და ხულო, კავკასიონის სამხრეთ ფრდობზე-თიანეთი და ბარისახო, ხოლო სამხრეთ საქართველოში-წალკა, ბაკურიანი და ახალციხე.

დაკვირვებათა მონაცემების აღწერა ხდებოდა წრფივი ფუნქციისა და θ_4 - θ_5 რიგის პოლინომების გამოყენებით. მიღებული გრაფიკული შედეგები წარმოდგენილია ნახ.ნახ. 2.3.1-2.3.7. აქ =1 შეესაბამება 1936 წელს.

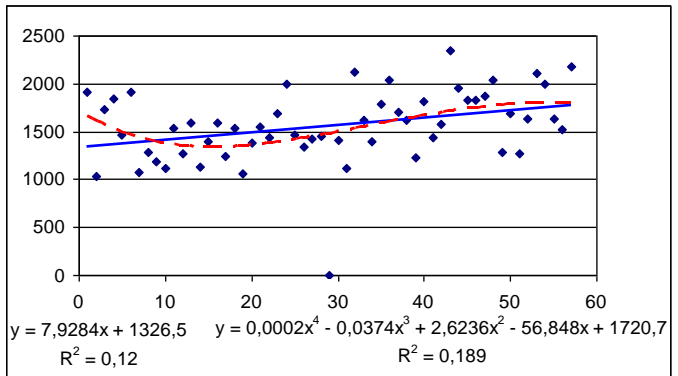
იმისათვის, რომ დაგადგინოთ, თუ რამდენად საიმედოა ესა თუ ის კორელაციის კოეფიციენტი, მათგამარტიკურ სტატისტიკაში ცნობილია მისი ნიშნადობის შეფასების მეთოდი. აფასებენ პარამეტრს:

$$H=r(n-1)^{1/2},$$

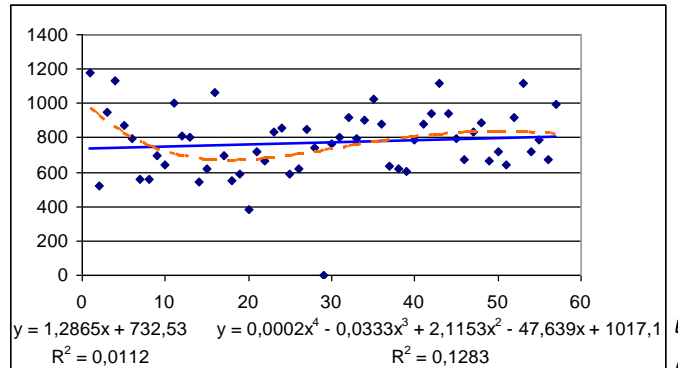
2.3.1

სადაც r -კორელაციის კოეფიციენტია, ხოლო n -დაკვირვებათა რიგია.

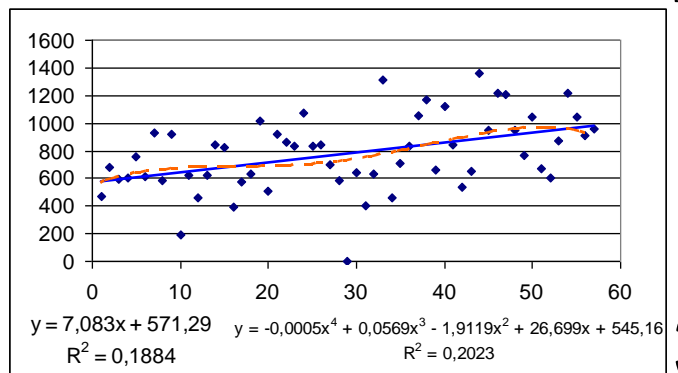
Н -ის გამოანგარიშებულ მნიშვნელობებს ადარებქმ მისივე შესაბამის კრიტიკულ მნიშვნელობას, რომელიც მოცემულია სპეციალურ ცხრილში და ადგენენ თუ უზრუნველყოფის რა დონეზე კმაყოფილდება, ან არ კმაყოფილდება ნიშნადობის პირობა.



1

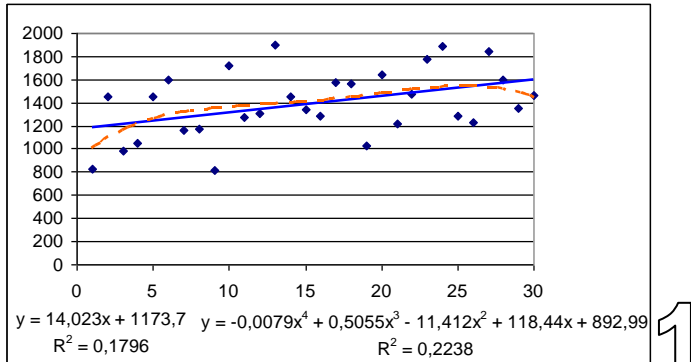


2

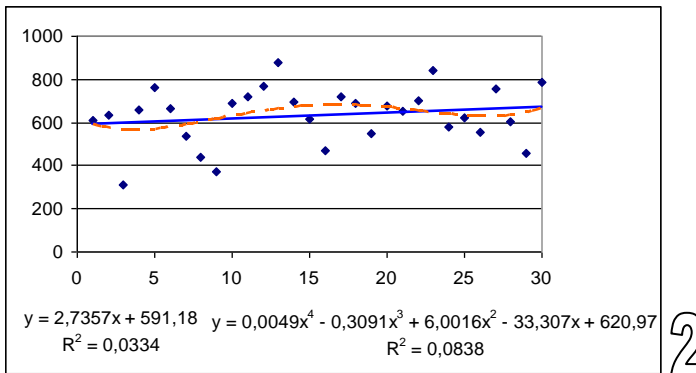


3

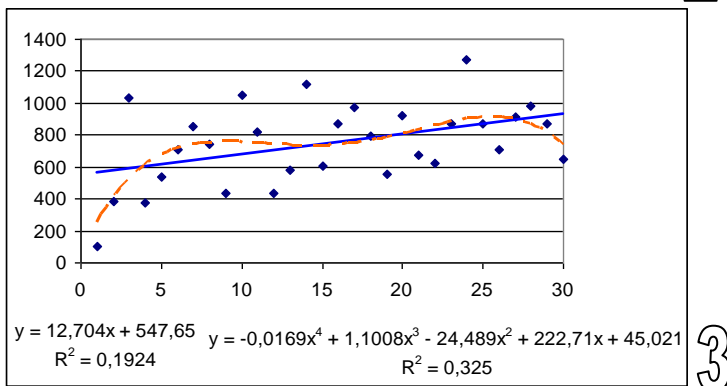
ნახ. 2.3.1. აგმოსფერული ნაღებების მრავალწლიური ცვლილება ქვედაში წრფივი აკროქსიმაციით და პოლინომით: 1-წლიური; 2-თბილი პერიოდი; 3-ცივი პერიოდი



1

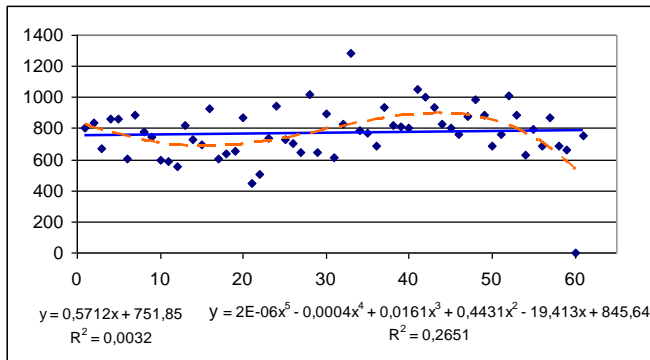


2

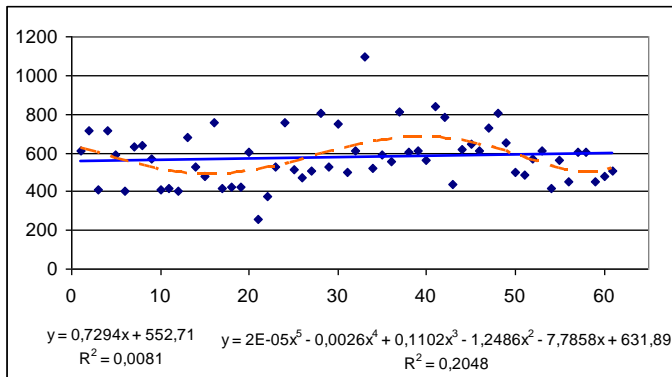


3

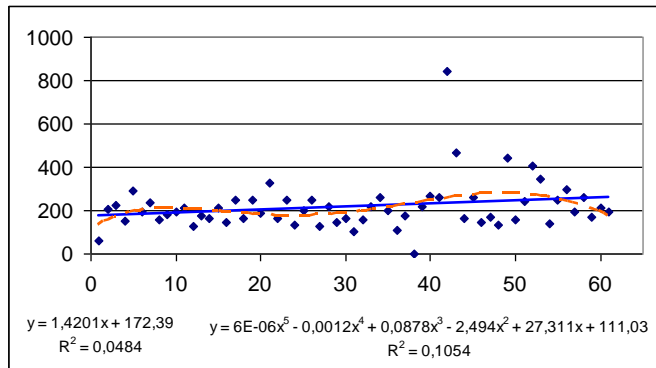
ნახ. 2.3.2. აგმოსფერული ნაღებების მრავალწლიური
ცვლილება ხელოში. აღნიშვნები იხ. ნახ. 2.3.1.



1

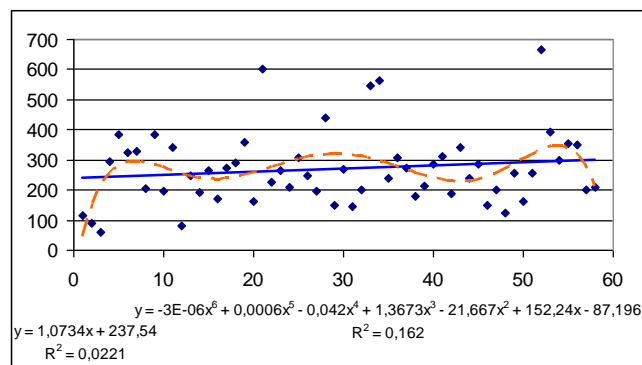
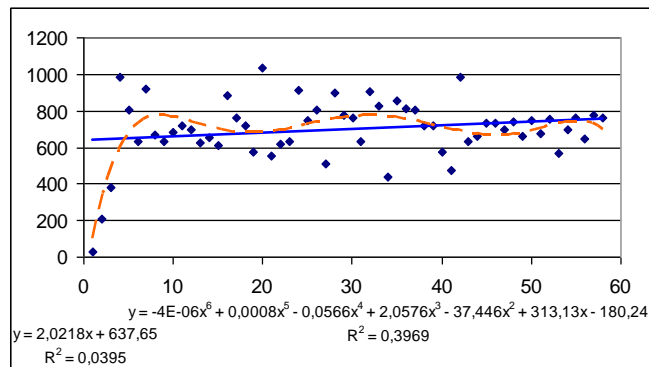
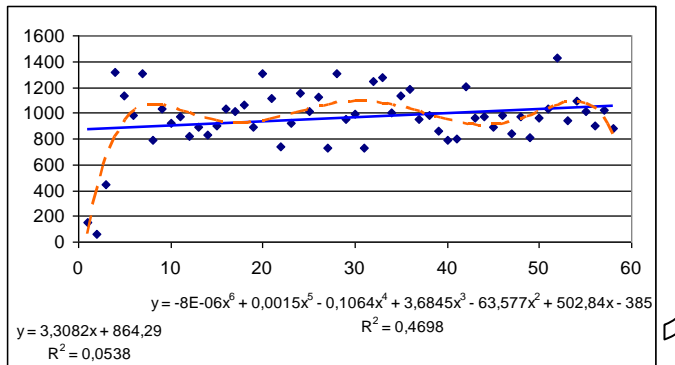


2

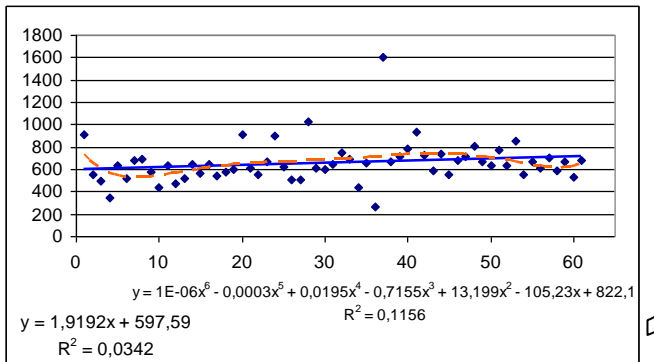


3

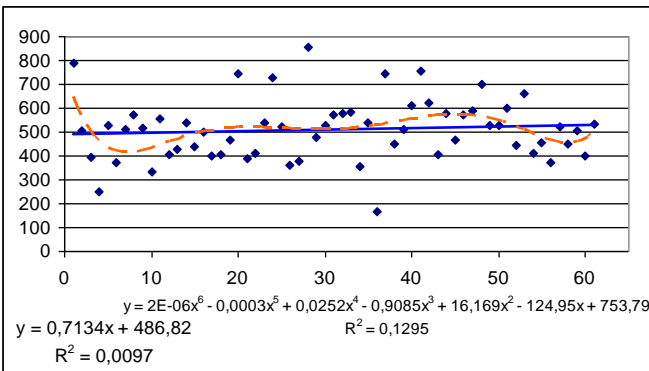
ნახ. 2.3.3. აგმოსფერული ნაღებების მრავალწლიური ცელილება თიანეთში. აღნიშვნები იხ. ნახ. 2.3.1.



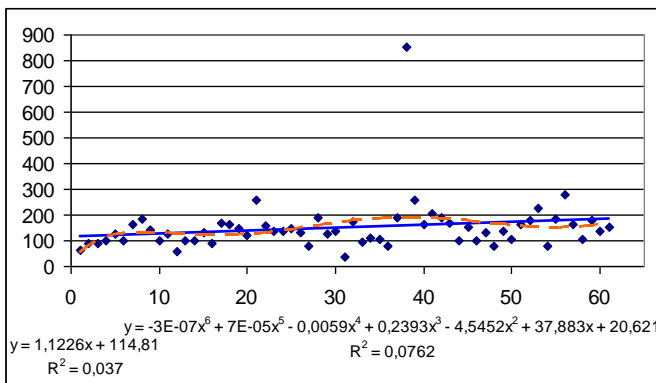
ნაბ. 2.3.4. ატმოსფერული ნალექების მრავალწლიური ცვლილება ბარისახოვთ. აღნიშვნები იხ. ნაბ. 2.3.1.



1

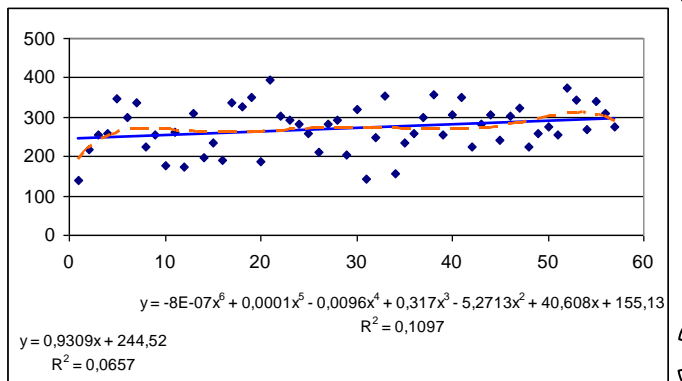
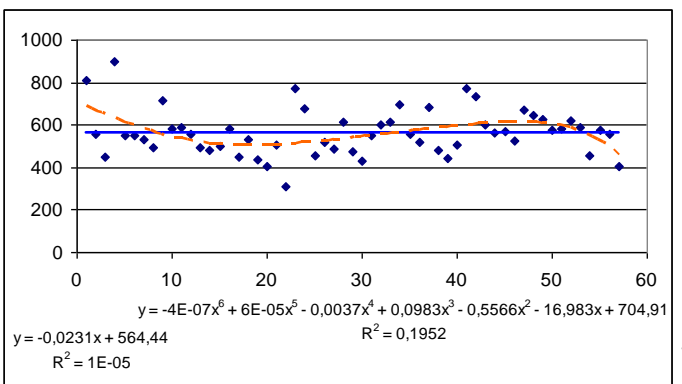
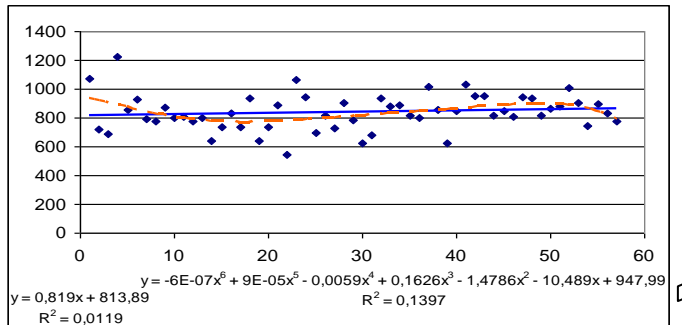


2

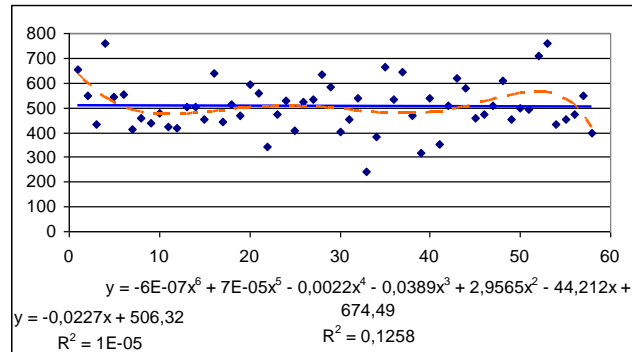


3

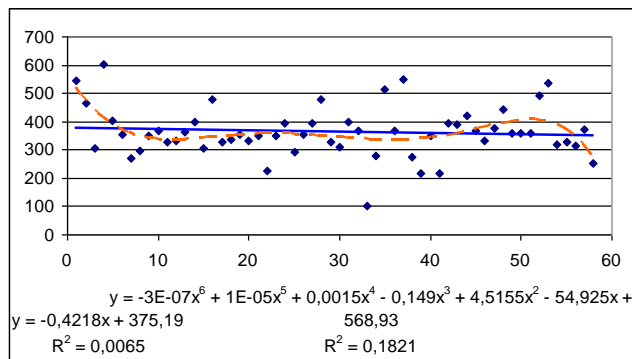
б) 2.3.5. აგმოსფერული ნაღებების მრავალწლიური
ცვლილება წალკაში. აღნიშვნები იხ. ნახ. 2.3.1.



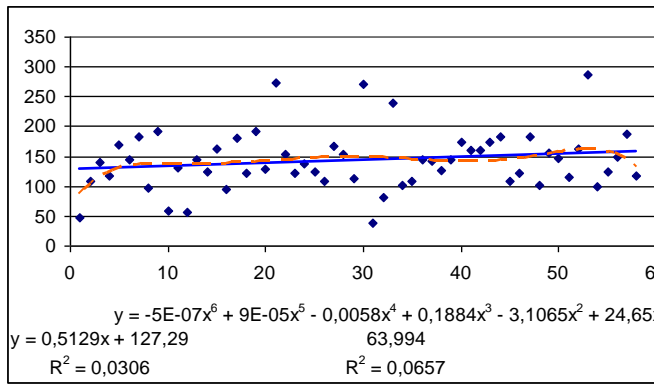
баб. 2.3.6. აგმოსფერული ნაღებების მრავალწლიური ცვლილება ბაქურიანში. აღნიშვნები იხ. ნაბ. 2.3.1



1



2



3

б) 2.3.7. აგმოსფერული ნაღეჭების მრავალწლიური ცვლილება ახალი იქნავთ. აღნიშვნები ის. ბ) 2.3.1

ასეთი მიღგომის საფუძველზე მიღებული კორელაციის კოეფიციენტების ნიშნადობის დონეების ანალიზის საფუძველზედაგინერ, რომ კორელაციის კოეფიციენტების ნიშნადობა კავკასიონის სამხრეთ ფერდობზე და სამხრეთ საქართველოში დასაშვებ დონეზე გაცილებით დაბლაა, ამიტომ ამ რაიონებში ნალექების რეჟიმის ცვლილებაზე საუბარი საერთოდ არ შეიძლება. ნალექების რეჟიმის რეალური ცვლილება მხოლოდ აჭარის ტერიტორიაზეა, კერძოდ ქვედასა და ხელოში. ამ საღგურებში ნიშნადია ნალექების წლიური ჯამების ცვლილება, რაც განპირობებულია წლის ცივი პერიოდის ნალექების ცვლილებით. აჭარის ტერიტორიაზე ნალექების წლიური ჯამები გასული საუკუნის განმავლობაში იზრდებოდა. ნალექების ზრდის სიჩქარე წლის განმავლობაში შეადგენდა ქედაში დაახლოებით 8 მმ-ს, ხოლო ხელოში-14 მმ-ს., რაც პროცენტულად შეადგენს შესაბამისად 0,6 და 1,2%-ს. წლის ცივი პერიოდის ნალექების ზრდის სიჩქარეა ქედაში 7,0 მმ, ხოლო ხელოში 13 მმ. წელიწადში, პროცენტულად ეს შეადგენს 1,2 და 2,3%-ს.

როდესაც ნალექების მრავალწლიურ ცვლილებას აღვწერთ მე-4 რიგის პოლინომით კორელაციის კოეფიციენტი იზრდება და შესაბამისად იზრდება ნიშნადობის დონეც. პოლინომები წარმოადგენენ ატმოსფერული ნალექების მრავალწლიური ცვლილების მოდელურ ფუნქციებს, რომლებიც შეიძლება გამოყენებულ იქნას ნალექების მრავალწლიურ ცვლილების პროცესის შესწავლისათვის.

ნალექების მრავალწლიური სვლის პოლინომით აღწერის შედეგების საფუძველზე შეგვიძლია დავასკვნათ, რომ წვერის მიერ განხილულ საქართველოს მთიან რაიონებში ატმოსფერული ნალექების წლიურ ჯამს გასულ საუკუნეში მაქსიმუმი გააჩნდა 80-90 -იან წლებში. მინიმუმის დადგომის წლები სხვადასხვა პუნქტში სხვადასხვაა. ობილი პერიოდის ნალექების ჯამის მაქსიმუმი აგრეთვე 80-90-იან წლებზე მოდის, გამონაკლისია ახალციხე და ქედა, სადაც მაქსიმუმი 30-იანი წლების შეა პერიოდს შეესაბამება. ნალექების მინიმუმიც სხვადასხვა პუნქტში განსხვავებულია. ცივი პერიოდის ნალექების მაქსიმუმი აგრეთვე 80-90-იან წლებში აღინიშნება, მინიმუმი კი თითქმის ყველგან 30-იანი წლების მეორე ნახევარზე მოდის.

**თავი III ატმოსფერული ნალექების გეოინფორმაციული
კარტოგრაფიული და მოდელირების შედეგების
პრაქტიკული გამოყენება მათი ველების სივრცითი და
დროითი გასაშუალოების ამოცანებში**

**3.1. ატმოსფერული ნალექების გასაშუალოება
სივრცეში**

მთელი რიგი პრაქტიკული ამოცანების გადაწყვეტა მოითხოვს ატმოსფერული ნალექების მონაცემებს არა დისკრეტულ წერტილებში, არამედ გასაშუალოებულს სივრცეში, რაიმე ტერიტორიაზე. ამის ერთ-ერთი მიზეზი იმაში მდგომარეობს, რომ ნალექები ძალზე ცვალებადი ელემენტია და მონაცემები ერთეულოვან პუნქტებში არ არიან რეპრეზნებატული, ანუ არ იძლევიან საშუალებას ვიმსჯელოთ ნალექების მნიშვნელობის შესახებ ველის სხვა პუნქტებში. ასეთი პირობები იქმნება განსაკუთრებით მთაგორიან რაიონებში, სადაც ნალექების რაოდენობათა ტოლობა სხვადასხვა პუნქტებში განისაზღვრება არა იმდენად მანძილით მათ შორის, რამდენადაც ფიზიკურ-გეოგრაფიული პირობების სიახლოვით-ადგილის სიმაღლით, ფერდობის ექსპრესიით და დახრილობით, ტყიანობით და ა. შ. სწორედ ამიტომ ჰიდრომეტეოროლოგიური ხასიათის ამოცანებში უპირატესობას ანიჭებენ რაიმე ფართობზე გასაშუალოებულ სიდიდეებს, რომლებიც იძლევიან ნათელ წარმოდგენას საკვლევი ველის შესახებ ამა თუ იმ სივრცით არეში. ასეთი მდგომარეობა იქმნება რაიმე ტერიტორიის წელის ბალანსის გამოკვლევისას, როდესაც აინტერესებთ ბალანსის კომპონენტების მნიშვნელობები ტერიტორიის არა ცალკეულ პუნქტებში, არამედ გასაშუალოებული მთელ ტერიტორიაზე. ამიტომაც ტერიტორიის წელის ბალანსის კორექტული განსაზღვრისათვის უკანასკნელ წლებში დიდი მნიშვნელობა უნიჭება ფართობზე გასაშუალოებული ნალექების ჯამების, თოვლის საფარის მახასიათებლების და სხვა პარამეტრების შეფასებას.

ამინდის რიცხვითი პროგნოზის ამოცანების განხილვისას პიდროდინამიკის განტოლებათა სისტემა იწერება და ამოიხსნება ველის კონკრეტული პუნქტებიდან აღებული მეტეოროლოგიური ელემენტების მნიშვნელობების გათვალისწინებით, რაც პრინციპულად არასწორია და დღეს ეწინააღმდეგება პროგნოზის რიცხვითი მეთოდების

განვითარებას. სწორედ რიცხვითი პროგნოზის ამოცანის ფიზიკური არსი მოითხოვს უპირველეს ყოვლისა ელემენტების გასაშუალოებული მნიშვნელობების გამოყენებას. ასეთი მიღებობა არსებითად ააძაღლებს გამოსაანგარიშებელი სქემების უფექტურობას, როგორც ფიზიკური, ისე წმინდა გამოთვლითი თვალსაზრისით.

მეტეოროლოგიური, მათ შორის ატმოსფერული ნალექების, ველების გასაშუალოების პრობლემა აქტუალური ხდება თანამედროვე რადიოლოგიაციური და თანამგზავრული გაზომვების სწორი ინტერპრეტაციისათვის. ასეთი გაზომვების შედეგად მიიღება სივრცეში გასაშუალოებული სიდიდეები, რომელთა სწორი აღქმაც შესაძლებელია მხოლოდ მიწისპირა გასაშუალოებულ ველებთან შედარების საფუძველზე.

დღისათვის ცნობილია მეტეოროლოგიური ველების სივრცითი გასაშუალოების სხვადასხვა მეთოდები. მათ შორის უმრავლესობას საფუძვლად უდევს ამ ველების ინტერპოლაციის ცდომილებების შეფასებები და ინფორმაცია სტატისტიკური სტრუქტურის შესახებ. ასეთ მიღებობას საფუძველი ჩაეყარა მ. ომშანსკის (1936) და ო. დროზდოვის, და ა. შეპელევსკის (1946) ცნობილი შრომებით. მოგვიანებით ეს საკითხები საფუძვლიანად გამოიკვლიერ დ. განდინმა (1963) და რ. კაგანმა (1979).

განვიხილოთ ამ მიმართულების განვითარების ძირითადი ნიშნები. ჯერ კიდევ ჩეგნი საუკუნის დასაწყისში ვ. მეინანდრუქმა (1900) შემოგთავაზა ნალექების გასაშუალოების კვადრატების მეთოდი. მეთოდი ითვალისწინებს ტერიტორიის დაყოფას რაც შეიძლება მეტი კვადრატებად. თითოეული მათგანისათვის გამოიყოფა ელემენტის საშუალო მნიშვნელობა და შემდეგ წონითი კოეფიციენტების გათვალისწინებით ხდება მათი გასაშუალოება.

ზ.დარმანმა (1949) დაამუშავა მეტეოროლოგიური ველების გასაშუალოების სამკუთხედების მეთოდი. მთელი ტერიტორია სამკუთხედებად იყოფა. ელემენტის ველი სამკუთხედში აღიწერება პირველი რიგის პოლინომით. წრფვი ინტერპოლაციის გზით სამკუთხედის სიმძიმის ცენტრში გამოითვლება ველის სიდიდე, როგორც საშუალო არითმეტიკული. ცალკეული სამკუთხედებისათვის მიღებული ველის მნიშვნელობანი ჯამდება სამკუთხედების ფართობების პროპორციული წონების გათვალისწინებით.

სივრცითი ველების გასაშუალოების პოლიგონების მეთოდი დამუშავა ა.ტისმერმა (1911). მეთოდი გულისხმობს მთელი ტერიტორიის ელექტრულ ფართობებად დაყოფას და თითოეული სადგურისთვის პოლიგონის გამოყოფას.

მეტეოროლოგიური ველების სივრცითი გასაშუალოების ერთ-ერთი ცნობილი მეთოდია იზოხაზების მეთოდი. ეს მეთოდი გამოიჩინება თავისი სუბიექტურობით და მნიშვნელოვნად არის დამოკიდებული სპეციალისტის ცოდნაზე და გამოცდილებაზე.

გასაშუალოების ზემოთ განხილული მეთოდები ფორმალურია, მათში არ არის გათვალისწინებული ველის სპეციფიური თავისებურებანი, წონითი კოეფიციენტები ყველა ელექტრისთვის ერთი და იგივეა. ამ მხრივ უპირატესობა გააჩნია დ. განდინის (1963) მიერ დამუშავებულ ოპტიმალური ინტერპოლაციის მეთოდს. წონითი კოეფიციენტები მიიღება ალგებრულ განტოლებათა სისტემების ამოხსნის შედეგად.

ყველა განხილული მეთოდი დამუშავებულია ერთგაროვანი ტერიტორიებისათვის და მთაგორიანი რაიონების თავისებურებებს არ ითვალისწინებს, ამიტომ მათი გამოყენება მთიანი ქვეყნის პირობებში დაუშვებელია. ამავე დროს ჩამოთვლილი გასაშუალოების მეთოდების გამოყენება მთიან რაიონებში შეზღუდულია მეტეოროლოგიურ სადგურთა ძალზე იშვიათი ქსელის გამო.

3.2. ატმოსფერული ნალექების სივრცეში გასაშუალოების მეთოდი მთიანი რელიეფის პირობებში და მისი რეალიზაცია საქართველოს ზოგიერთი რაიონისათვის

დავუშვათ, რომ შემოსაზღვრულ მთიან ტერიტორიაზე, რომლის ფართობია S, ატმოსფერული ნალექები მხოლოდ ადგილის სიმაღლის ფუნქციაა. ასეთი პირობა, ჩვეულებრივ იქმნება შედარებით მცირე ტერიტორიის ხეობებში, ფერდობებზე და პლატოებზე. ვთქვათ ნალექების განაწილება რელიეფის ჩამოთვლილ ფორმებში სიმაღლის მიხედვით ზოგადად აღიწერება რაიმე n-ხარისხის მრავალწევრით:

$$Q = \sum_{i=1}^n \alpha_i Z^i, \quad 3.2.1.$$

სადაც Q-ნალექების ჯამია, α_i -რეგრესიის კოეფიციენტებია, $i=1,2,\dots,n$.

შემოვიტანოთ Q -ების ელემენტარულ ვერტიკალური ზონის შესახებ სიმაღლით $\Delta Z_i = Z_{i-1} - Z_i$ და ფართობით S_i , სადაც Z_{i-1} და Z_i - ზონის ქვედა და ზედა საზღვრებია შესაბამისად, რომლის ფარგლებშიც ნალექების ცვლილება შეესაბამება მის მრავალწლიურ ცვალებადობას, რაც ხასიათდება საშუალო კვადრატული გადახრით σ . ცხადია, რომ i -ერ ვერტიკალურ ზონაში მოსული ატმოსფერული ნალექების საშუალო მნიშვნელობა განისაზღვრება ფორმულით:

$$Q_i = \frac{1}{Z_i - Z_{i-1}} \int_{Z_{i-1}}^{Z_i} Q dz, \quad 3.2.2.$$

ხოლო ნალექების სახით მოსული წყლის მოცულობა იქნება:

$$W_i = \frac{Si}{Z_i - Z_{i-1}} \int_{Z_{i-1}}^{Z_i} Q dz, \quad 3.2.3.$$

მთლიანად S ფართობზე მოსული წყლის მოცულობისათვის გვექნება:

$$W = \sum_{i=1}^k W_i \quad 3.2.4,$$

სადაც K -ელემენტარულ ვერტიკალურ ზონათა რიცხვია, ხოლო i -ერი ზონის მოსული ნალექების გასაშუალოებული მნიშვნელობა განისაზღვრება ფორმულით:

$$\ddot{Q} = \frac{1}{S} \sum_{i=1}^k W_i, \quad 3.2.5.$$

ჩამოყალიბებული მეთოდის კონკრეტულ პირობებში რეალიზაციისათვის საკვანძო საკითხეს წარმოადგენს ელემენტარული ვერტიკალური ზონების სიმაღლის შერჩევა. ამ დროს გათვალისწინებული უნდა იქნას ნალექების განაწილების ხასიათი სიმაღლის მიხედვით და ნალექების მრავალწლიური რყევადობა. მიზანშეწონილად გვეხმატება დავაყენოთ მოთხოვნა, რომ ელემენტარული ვერტიკალური ზონის განმარტების თანახმად, მის ფარგლებში ატმოსფერული ნალექების ცვლილება არ აღემატებოდეს მის მრავალწლიურ რყევადობას, რაც ხასიათდება საშუალო კვადრატული გადახრით.

დამუშავებული მეთოდი გამოყენებულ იქნა აჭარის ტერიტორიისათვის. დისერტაციის II თავში ჩატარებული ანალიზის შედეგად აჭარის ტერიტორიაზე გამოყოფილი იქო 3 რაიონი ატმოსფერული ნალექების სიმაღლის მიხედვით განაწილების თვალსაზრისით. ამ რაიონებისათვის ჩატარებული გამოთვლები წარმოდგენილია ცხრილში 3.2.1.

ცხრილში წარმოდგენილი მონაცემებიდან ჩანს, რომ წყლის მოცულობა, რომელიც აღწევს დედამიწის ზედაპირზე I რაიონში შეადგენს დაახლოებით 2,8 კუბ.მ-ს, მე-2 რაიონში - 0,41კუბ. კმ. და III რაიონში-2,89კუბ.კმ., ხოლო ატმოსფერული ნალექების საშუალო ფენა შესაბამისად შეადგენს 3277მმ, 1444მმ. და 1648მმ. მთლიანად აჭარის ტერიტორიაზე წლის განმავლობაში მოდის წყლის მოცულობა 6,1კუბ.კმ., ხოლო ატმოსფერული ნალექების გასაშუალოებული მნიშვნელობა დაახლოებით 2110მმ-ია. ამის გარდა ცხრილიდან ჩანს, რომ I რაიონი, რომლის ფართობიც 2-ჯერ ნაკლებია III რაიონზე წლის განმავლობაში წყლის იგივე მოცულობას დებულობს. ასეთი დაწვრილებითი მონაცემების მიღება მოხერხდა მხოლოდ ჩვენს მიერ შემუშავებული ნალექების გასაშუალოების ახალი მეთოდის საფუძველზე.
მიღებული შედეგების საიმედობაზე მიუთითებს კორელაციის კოეფიციენტების მაღალი მნიშვნელობები (იხ. თავი II), და აგრეთვე ველების გასაშუალოების საშუალო კვადრატული ცდომილებები, გამოანგარიშებული წარმოდგენილი მეთოდის საფუძველზე, რომელიც ითვალისწინებს წონით კოეფიციენტებს, კერძოდ, წარმოდგენილი მეთოდით გასაშუალოების საშუალო კვადრატული ცდომილება I რაიონისათვის შეადგენს 550მმ-ს, მაშინ, როდესაც ცდომილება არითმეტიკული გასაშუალოებით 610მმ-ია. II რაიონისათვის შესაბამისად გვაქვს 290მმ. და 355მმ, III რაიონისათვის-250მმ და 264მმ, მთლიანად აჭარის ტერიტორიისათვის-364მმ და 410მმ.

ცხრილი 3.2.1. ატმოსფერული ნალექების გასაშუალოებული
მნიშვნელობისა და წყლის საერთო მოცულობის გაანგარიშება
აჭარის ტერიტორიისათვის

რაოდი	ელემენტარული კერტიკალური ზონა $Z_{i-1} - Z_i$ მ.	ფართობი S_i მ ²	ნალექების გასაშუალოებული მნიშვნელობა Q_i მმ.	მოსული წყლის მოცულობა W_i მ ³ .
I	0-200	352,1	2746	0,9668666
	200-400	113,9	3032	0,3453448
	400-600	100,8	3327	0,3353616
	600-800	82,8	3619	0,2996532
	800-1000	80,6	3911	0,3152266
	1000-1200	70,6	4203	0,2967318
	1200-და მეტი	54,2	4495	0,2436290
		$S_1 = 855,4$	$\bar{Q}_1 = 3277 \text{ მმ.}$	$W_1 = 2,8028136$
II	0-200	34, 0	1977	0,0672180
	200-400	70,0	1673	0,1171100
	400-600	109,4	1369	0,1497686
	600 და მეტი	68,7	1065	0,0731655
		$S_2=282,1$	$\bar{Q}_2 = .144488$	$W_2=0,4072621$
III	400-800	35,7	1176	0,0419832
	800-1200	373,7	1304	0,4873048
	1200-1600	418,7	1520	0,6364240
	1600-2000	457,8	1736	0,7947408
	2000-2400	387,9	1952	0,7571808
	2400-და მეტი	80,3	2150	0,1726450
		$S_3=1754,1$	$\bar{Q}_3 = 1648 \text{ მმ.}$	$W_3=2,8902786$
		$S=2891,6$	$\bar{Q} = \frac{W}{S} = 211 \text{ მმ.}$	$W=6,1003543$

დასასრულს ავღნიშნავთ, რომ ნალექების ველის გასაშუალოების დამუშავებული მეთოდი შეიძლება გამოყენებულ იქნას დედამიწის სხვა მთიან რაიონებში წყალბალანსურ გამოთვლებთან, ამინდის პროგნოზთან, კლიმატის ცვლილებასთან და სხვა. დაკავშირებულ ამოცანების გადაწყვეტაში. მეთოდი შეიძლება გამოყენებულ იყოს სხვა მეტეოროლოგიური ელემენტების გელების გასაშუალოებისთვისაც.

3.3. საქართველოს ტერიტორიაზე მოსული ატმოსფერული ნალექების გასაშუალოებული მნიშვნელობა და წყლის მოცულობა

ჩვენს მიერ მთლიანად საქართველოსათვის მიღებული ატმოსფერული ნალექების სივრცით ველის მოდელური ფუნქცია საშუალებას იძლევა განკსაზღვროთ ველის გასაშუალოებული სიდიდეები და შესაბამისად ატმოსფეროდან მოსული ნალექების საერთო რაოდენობა ტერიტორიის ნებისმიერ მონაკვეთზე, შედარებით ნაკლები სიზუსტით, ვიდრე წინა პარაგრაფში ჩამოყალიბებული მეთოდის საშუალებით.

ინტეგრალური აღრიცხვის ელემენტალური მოსაზრებებიდან გამომდინარე რაიმე S ტერიტორიაზე მოსული ატმოსფერული ნალექების საშუალო რაოდენობა განისაზღვრება ფორმულით:

$$\bar{Q}(S) = \frac{1}{S} \iint_S Q d\bar{\lambda} . d\bar{\varphi} . \quad 3.3.1.$$

თუ ამ ფორმულაში ჩავსვამთ ნალექების –მოდელის გამოსახულებას და S -ტერიტორიის საზღვრებს გამოვსახავთ გეოგრაფიული გრძელის და განედის საშუალებით, მაშინ მივიღებთ:

$$\begin{aligned} \bar{Q}(S) &= \frac{1}{(\bar{\lambda}_2 - \bar{\lambda}_1)(\bar{\varphi}_2 - \bar{\varphi}_1)} = \int_{\bar{\lambda}_1}^{\bar{\lambda}_2} \int_{\bar{\varphi}_1}^{\bar{\varphi}_2} (58825 - 39008\bar{\varphi} + 6240\bar{\varphi}^2 - 22576\bar{\lambda} + \\ &+ 11628\bar{\varphi}\bar{\lambda} - 816\bar{\varphi}^2\bar{\lambda} + 461\bar{\lambda}^2 + 1012\bar{\varphi}\bar{\lambda}^2 - 528\bar{\varphi}^2\bar{\lambda}^2) d\bar{\lambda} d\bar{\varphi} \end{aligned} \quad 3.3.2.$$

$$\text{სადაც, } \bar{\varphi} = \varphi - 40 \quad \text{და} \quad \bar{\lambda} = \lambda - 40.$$

(3.3.2.) ფორმულით გამოთვლილი შედეგები დასავლეთ და აღმოსავლეთ საქართველოსათვის ცალ-ცალკე წარმოდგენილია ცხრილში 3.3.1.-ში.

ცხრილი 3.3.1. ნალექების გასაშუალოებული სიდიდე $\bar{Q}(S)$ და წყლის მოლიანი მოცულობა $\bar{Q}(S).S$.

რაიონი	$\bar{Q}(S)$ მმ	$\bar{Q}(S) \bullet S \beta^3$
დასავლეთ საქართველო	1700	65
აღმოსავლეთ საქართველო	900	29
საქართველო	1350	94

როგორც ცხრილიდან ჩანს წლიური ნალექების სივრცეში გასაშუალოებული სიდიდე დასავლეთ საქართველოში შეადგენს 1700მმ-ს, ხოლო აღმოსავლეთ საქართველოში - 900მმ-ს. ოუ გადავიანგარიშებთ ფართობზე მივიღებთ, რომ წლის განმავლობაში ატმოსფეროდან დასავლეთ საქართველო ღებულობს 65კუბ. კმ. წყალს, ხოლო აღმოსავლეთ საქართველო-29კუბ. კმ. წყალს, მოლიანდ საქართველო-94 კუბ.კმ. წყალს. ეს სიდიდეები შეიძლება იყოს მიახლოებითი, მაგრამ რეალურ სურათს იძლევიან საქართველოში ატმოსფეროდან მიღებული წყლის რესურსების შესახებ. ასეთი შეფასებები მოხერხდა მხოლოდ ატმოსფერული ნალექების ველის მათემატიკური მოდელის აგების საფუძველზე.

3.4. ატმოსფერული ნალექების გასაშუალოება დროში

ნალექების სივრცეში გასაშუალოების ანალოგიურად, დიდი პრაქტიკული გამოყენება აქვს მათ დროში კორექტულ გასაშუალოებას. ეს საკითხი განსაკუთრებით აქტუალური გახდა კლიმატის ცვლილების პრიბლემის კვლევასთან დაკავშირებით. კერძოდ, კლიმატის ცვლილების კვლევისას დროითი გასაშუალოების მასშტაბის გაზრდა საშუალებას იძლევა განსილებით გამოვრიცხოთ წვრილმასშტაბიანი პროცესები და ყურადღება გავამახვილოთ მსხვილმასშტაბიანი პროცესების კვლევაზე. ამასთან დაკავშირებით ოუ

გრძელვადიანი პროგნოზების ამოცანებში ჩვეულებრივ განიხილება დეკადაში ან თვეებში გასაშუალოებრივი ელემტები, კლიმატის ცვლილების კვლევისას დროით გასაშუალოების მასშტაბი აღწევს ათეულ და ასეულ წლებს.

დროითი გასაშუალოების პერიოდის შერჩევას გადამწყვეტი მნიშვნელობა აქვს საიმედო კლიმატური ნორმების მიღებისათვის და შესაბამისად ობიექტური დასკვნების გაკეთებისათვის კლიმატის მრავალწლიური ცვლილების შესახებ.

განვიხილოთ ეს საკითხი დაწვრილებით.

ატმოსფერული ნალექების მრავალწლიური სვლის მოდელური ფუნქციები, რომლებიც წარმოდგენილია ცხრილ 3.3.1-ში საშუალებას იძლევიან საწყისი საარქივო მასალისაგან დამოუკიდებლად განსაზღვრულ იქნას კლიმატური ნორმები დროის ნებისმიერი ინტერვალისათვის, სამუშაო ფორმულას შემდეგი სახე აქვს:

$$\bar{Q} = \frac{1}{t_2 - t_1} \int_{t_1}^{t_2} Q(t) dt, \quad 3.4.1$$

სადაც \bar{Q} -ატმოსფერული ნალექების ნორმაა t_1 , t_2 -პერიოდისათვის, $Q(t)$ -ნალექების დროში ცვლილების ფუნქცია(იხ. ცხრილი 3.3.1).

განვიხილოთ ნალექების ნორმების საკითხი ხულოსათვის, სადაც ცხრილ 3.3.1-ში მოყვანილი შეფასებების თანახმად ნალექების ცვლილება ნიშნადია. გვაქვს ამავე ცხრილში 2ფორმულა, რომლებიც აღწერენ ნალექების ცვლილებას დროში- წრფივი და მე-4 ხარისხის პოლინომი. ქვემოდ, ცხრილ 3.4.1-ში წარმოდგენილია ნალექების ნორმები ხულოსათვის სხვადასხვა დროითი ინტერვალებისათვის გამოანგარიშებული წრფივი ფუნქციით, მე-4 რიგის პოლინომით 3.4.1. ფორმულის გამოყენებით და ფაქტობრივი მონაცემებით.

ცხრილი 3.4.1. ნალექების წლიური ნორმები ხულოში წრფივი ფუნქციისა და მე-4 რიგის პოლინომის ინტეგრირებით, და ფაქტობრივი მონაცემებით. მმ.

ფუნქცია	პერიოდი წ.წ.		
	1965-1975	1965-1985	1965-1995
წრფივი ფუნქცია	1244	1300	1386
მე-4რიგის პოლინომი	1133	1273	1343
ფაქტობრივი მონაცემებით	1223	1330	1351

ცხრილიდან ჩანს, რომ განსხვავება სხვადასხვა ხერხით მიღებულ ნალექების ნორმებს შორის მით მეტია, რაც ხანძოკლეა პერიოდი, ხანგრძლივი პერიოდისათვის კი გამოთვილი სიდიდეები ერთმანეთს უახლოვდება. ამავე ცხრილიდან ჩანს, რომ შედარებით ხანგრძლივი პერიოდისათვის გამოთვლილი კლიმატური ნორმები(მე-3 გრაფა ე.ი. 1965-1995წ.წ) დიდად არ განსხვავდება ერთმანეთისაგან, მაგრამ ფაქტობრივი მონაცემების საფუძველზე გამოთვლილ ნორმასთან უფრო ახლოს მე-4 რიგის პოლინომით გამოთვლილი ნორმაა, ვიდრე წრფივი ფუნქციით. ეს იმაზე მიუთითებს, რომ კლიმატური ელემენტების, კერძოდ კი ატმოსფერული ნალექების წრფივი ფუნქციით აღწერის საფუძველზე მიღებულ დასკვნებს დიდი სიფრთხილით უნდა მოვეკიდოთ.

ამრიგად, ატმოსფერული ნალექების მრავალწლიური ცვლილების მოდელური ფუნქციები წარმატებით შეიძლება გამოყენებულ იქნას ნალექების დროითი გასაშუალოების ამოცანებში.

3.5. ველის ნებისმიერ წერტილში ატმოსფერული ნალექების განსაზღვრის მოდელი

ატმოსფერული ნალექების გეოინფორმაციული კარტოგრაფიული ნებისმიერებისა და მოდელირებისას მიღებული შედეგები შეიძლება გამოყენებულ იქნას აგრეთვე სხვა პრაქტიკული ამოცანების გადაწყვეტისათვის. დასკვნით ნაწილში ჩვენ ყურადღებას შევაჩერებთ ერთ-ერთ მათგანზე, რომელიც საშუალებას მოგვცემს განვსაზღვროთ ატმოსფერული ნალექების რაოდენობა და აგრეთვე დანდშაფტის ტიპი ჩვენი საკვლევი რეგიონების ნებისმიერ წერტილში.

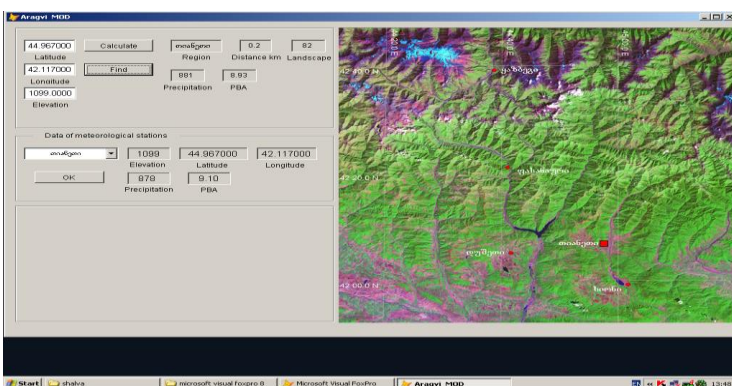
დამუშავებულ იქნა მოდელი, რომელიც ანგარიშობს ატმოსფერული ნალექების რაოდენობას ნებისმიერ წერტილში (გეოგრაფიული გრძელის, განედის და სიმაღლის მითითებით). ამისათვის საკვლევი ტერიტორია დაფარვით 350 მ. სიგრძის კვადრატებად. მათი რაოდენობა მთელ ტერიტორიაზე 39554-ია. თითოეულ მათგანს აქვს ინფორმაცია: მინიმალური და მაქსიმალური გრძელი და განედი (X_1, X_2, Y_1, Y_2 -ველებშია მოთავსებული), ფორმულა, რომლითაც ხდება ატმოსფერული ნალექების გამოანგარიშება ამ კვადრატებისათვის (Formula 1

ველში) და ლანდშაფტის ტიპი ნ.პერუხაშვილის (1995) მიხედვით, რომელშიაც ობიექტი ხვდება (Formula 2 ველში) (იხ.ცხრილი 3.5.1.). მოცემული ცხრილი გადაყვანილია dBASE DBF ფორმატში და მიმღელია პროგრამა Visual FoxPro 6.0-ში წინასწარ დამზადებულ ფორმატზე. აქვე დამზადებულია საინსტალაციო პაკეტი პროგრამა Aragvi MOD-ისათვის (ასე ვუწოდეთ შექმნილ პროდუქტს), რომელიც მუშაობს Windows 95-ში და მაღალ ოპერატორულ სისტემებზე (ნაბ.3.5.1).

მოდელის მუშაობის ხარისხი შემოწმებულ იქნა კონკრეტულ მონაცემებზე მეტეოროლოგიური სადგურების დაკვირვებების მიხედვით, და კარგი შედეგი აჩვენა.

Crxlli											
X1	X2	Y1	Y2	Nalegbis	Landscape	Raioni	Cox	Coy	Distance		
244222847934609600	6.21968417e+004	0.785160708144		yzbegi	1669.25169897	110720.10675525	[470711.99x3868.25]2+4722708.04y110720.11				
2442228479331306460	6.21968417e+004	0.785160708144		yzbegi	1668.180827779	110720.092751130	[470711.99x3868.18]2+4722708.04y110720.08				
2442228479165023136	6.21968417e+004	0.785160708144		yzbegi	1668.109873017	110720.05898558	[470711.99x3868.11]2+4722708.04y110720.06				
2384793273784931614	6.21968417e+004	0.785160708144		yzbegi	1675.702704674	110720.19314036	[470711.99x3875.7]1[4722708.04y110720.2]				
23847932737805122196	6.21968417e+004	0.785160708144		yzbegi	1675.487193374	110720.12761265	[470711.99x3875.49]2+4722708.04y110720.13				
23847932737890319051	6.21968417e+004	0.785160708144		yzbegi	1675.415231981	110720.103640203	[470711.99x3875.42]2+4722708.04y110720.11				
23847932737890319503	6.21968417e+004	0.785160708144		yzbegi	1675.343457028	110720.1793075790	[470711.99x3875.34]2+4722708.04y110720.08				
23847932737890602756	6.21968417e+004	0.785160708144		yzbegi	1675.271495632	110720.05580568	[470711.99x3875.27]2+4722708.04y110720.06				
23847932737846016060	6.21968417e+004	0.785160708144		yzbegi	1675.199270679	110720.031901981	[470711.99x3875.2]2+4722708.04y110720.03				
2384793273781306480	6.21968417e+004	0.785160708144		yzbegi	1675.127759293	110720.008127002	[470711.99x3875.13]2+4722708.04y110720.01				
238479327378165033116	6.21968417e+004	0.785160708144		yzbegi	1675.055984333	110719.984131252	[470711.99x3875.06]2+4722708.04y110719.98				
23273736985793741084	6.21968417e+004	0.785160708144		yzbegi	1692.85632963	110720.196549109	[470711.99x3882.86]2+4722708.04y110720.2]				
23273736985793741084	6.21968417e+004	0.785160708144		yzbegi	1692.788051324	110720.172321250	[470711.99x3882.79]2+4722708.04y110720.17				
23273736985616412479	6.21968417e+004	0.785160708144		yzbegi	1692.716855089	110720.148956392	[470711.99x3882.72]2+4722708.04y110720.15				
23273736985616412479	6.21968417e+004	0.785160708144		yzbegi	1692.645074487	110720.124568563	[470711.99x3882.69]2+4722708.04y110720.12				
2327373698553461961	6.21968417e+004	0.785160708144		yzbegi	1692.573679228	110720.10095622	[470711.99x3882.57]2+4722708.04y110720.11				
23273736985519625346	6.21968417e+004	0.785160708144		yzbegi	1692.502097588	110720.07725369	[470711.99x3882.5]2+4722708.04y110720.09				
23273736985519625346	6.21968417e+004	0.785160708144		yzbegi	1692.43070361	110720.05325626	[470711.99x3882.49]2+4722708.04y110720.05				
23273736985590319051	6.21968417e+004	0.785160708144		yzbegi	1692.359307132	110720.023272711	[470711.99x3882.36]2+4722708.04y110720.03				
2327373698560012756	6.21968417e+004	0.785160708144		yzbegi	1692.287725493	110720.005080806	[470711.99x3882.29]2+4722708.04y110720.01				
2327373698560012756	6.21968417e+004	0.785160708144		yzbegi	1692.216330265	110719.981512179	[470711.99x3882.22]2+4722708.04y110719.98				

ცხრილი 3.5.1 მონაცემთა ბაზა პროგრამირებისათვის



6.5.1. პროგრამა Aragvi MOD

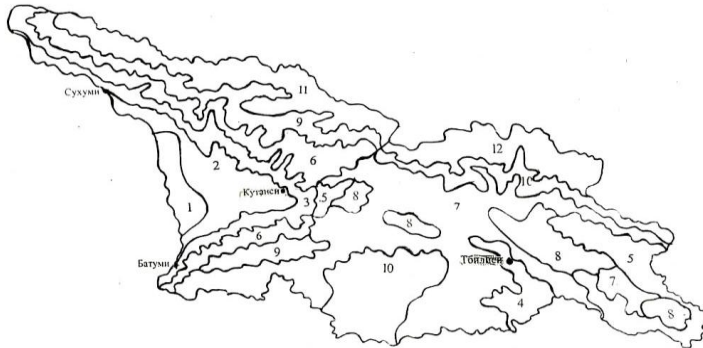
3.6. ნიადაგების კლიმატის დარაიონება და გეოინფორმაციული კარტოგრაფიული

ჩატარებული კვლევის შედეგების პრაქტიკული მნიშვნელობა არ შემოიფარგლება ზემოდ განხილული ამოცანებით. მათი გამოყენება პერსპექტიულია აგრეთვე მრავალი ზოგადგეოგრაფიული და სპეციალური დანიშნულების ამოცანის გადასაწყვეტად. ქვემოდ განვიხილავთ მათი გამოყენების 2 მაგალითს ნიადაგების კლიმატოლოგიდან.

1. ნიადაგების კლიმატური დარაიონება. ნიადაგების კლიმატური დარაიონება გულისხმობს ტერიტორიის დაყოფას ნიადაგის ჰავის დამახასიათებელი ელემენტების საფუძველზე ნიადაგ-კლიმატური რესურსების სასოფლო-სამუშაოებისა და რაციონალური გამოყენების მიზნით. ნიადაგების კლიმატური დარაიონება წარმოადგენს აგროკლიმატური და უფრო ზოგადი კომპლექსური ფიზიკურ-გეოგრაფიული დარაიონების შემადგენელ ნაწილს. ამავე დროს ის არსებითად განსხვავდება აგროკლიმატური დარაიონებისაგან, რადგანაც უკანასკნელი ძირითადად ატმოსფეროს კლიმატურ პირობებს ითვალისწინებს, ხოლო ნიადაგების კლიმატური დარაიონება ემყარება თვით ნიადაგების კლიმატური რესურსების შეფასებას.

დღეისათვის არ არსებობს ნიადაგების კლიმატური დარაიონების რაიმე ჩამოყალიბებული კლასიფიკაცია. მეცნიერთა დიდი ნაწილი ნიადაგის კლიმატური რესურსების შესაფასებლად წამყანა ფაქტორებად ნიადაგის სითბურ თვისებებს, დატენიანების და გაზურ რეჟიმს მიიჩნევს. ჩვენ საქართველოს ნიადაგ-კლიმატურ დარაიონებას საფუძვლად დავუდეთ ა.შულგინის კლასიფიკაცია, რომელიც ეფუძნება ნიადაგების გეოთერმული და აგროპიდროლოგიური დარაიონების რუკების სინთეზს. მიუხედავად ასეთი რუკების არსებობისა მათი საიმედობა მთიან რაიონებში დაბალია, ნიადაგის ტემპერატურაზე და ნიადაგში არსებული პროდუქტიული ტენის მარაგზე დაკვირვებათა არ არსებობის გამო. ამიტომ მესხეთ-ჯავახეთის, აღმოსავლეთ კავკასიონის და აჭარის მთიანი რაიონების ნიადაგ-კლიმატური დარაიონებისათვის გამოყენებული იყო ჩვენს მიერ გამოვლენილი კლიმატური ბარიერები და გამოყოფილი რაიონები (იხ. ნახ. 2.3.1; 2.3.5; 2.3.11), აგრეთვე გათვალისწინებული იყო ატმოსფერული ნალექების გეოინფორმაციული რუკები (ნახ.2.4.5-2.4.7), რომლებიც კარგად შეესაბამება საქართველოს აგროპიდროლოგიურ რაიონებს და

აზუსტებს ნიადაგების დანესტიანების პირობებს. საბოლოოდ შემუშავებული საქართველოს ნიადაგ-კლიმატური დარაიონების სქემატური რუკა, რომელიც წარმოდგენილია ნახ. 3.6.1-ზე.



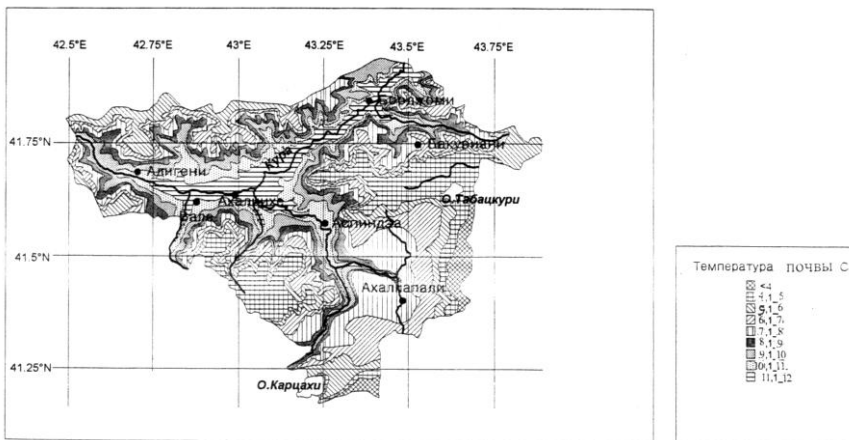
ნახ.3.6.1. საქართველოს ნიადაგ-კლიმატური დარაიონება.
აღნიშვნები იხ.ტექსტში

ამრიგად, საქართველოს ტერიტორიაზე გამოყოფილია 12 ნიადაგ-კლიმატური რაიონი: მეტად თბილი ნიადაგები ძლიერი გაწყლოვანებით(1), მეტად თბილი ნიადაგები ზომიერი გაწყლოვანებით(2), მეტად თბილი ნიადაგები სუსტი გაწყლოვანებით(3), მეტად თბილი ნიადაგები კაპილარული დატენიანებით(4), მეტად თბილი ნიადაგები გაზაფხულის სრული დასველებით(5), თბილი ნიადაგები სუსტი გაწყლოვანებით(6), თბილი ნიადაგები კაპილარული დატენიანებით(7), თბილი ნიადაგები გაზაფხულის სრული დასველებით(8), ზომიერად თბილი ნიადაგები სუსტი გაწყლოვანებით(9), ზომიერად თბილი ნიადაგები კაპილარული დატენიანებით(10), ზომიერი და ცივი ნიადაგები სუსტი გაწყლოვანებით(11), ზომიერი და ცივი ნიადაგები კაპილარული დატენიანებით(12).

ამ რაიონების კლიმატურ დახასიათებაზე აქ არ შევჩერდებით, ის დეტალურად განხილულია ნაშრომში(Elizbarashvili E.Sh., Chavchanidze Z.B., Elizbarashvili M. E., Maglakelidze R.V., Sulkhanishvili N.G., Elizbarashvili Sh. E. , 2006).

2. ნიადაგის ზედაპირის ტემპერატურის გეოინფორმაციული კარტოგრაფიულება. მთიან პირობებში ატმოსფერული ნალექების ჩვენს მიერ დამუშავებული გეოინფორმაციული კარტოგრაფიულის მეთოდი უნივერსალურია და შეიძლება გამოყენებულ იქნას ნებისმიერი კლიმატური ელემენტის მიმართ. ნახ.3.6.2-ზე წარმოდგენილია ნიადაგის ზედაპირის ტემპერატურის გეოინფორმაციული რუკის ფრაგმენტი.

წარმოდგენილი რუკა შედგენილია იმ პროცედურების დაცვით, რაც შემუშავებული იყო ატმოსფერული ნალექების კარტოგრაფირებისათვის. მიღებული რუკა ითვალისწინებს რელიეფის მორფომეტრიის მთელ სირთულეს და მანამდე არსებულ რუკებზე გაცილებით ზუსტია და საიმედო. ყოველივე ეს მოხერხდა ატმოსფერული ნალექების მოდელირების და გეოინფორმაციული კარტოგრაფირების მეთოდის საფუძველზე.



ნახ.3.6.2. ნიადაგის ზედაპირის ტემპერატურის გეოინფორმაციული რუკის ფრაგმენტი.

მირითადი დიტერატურა

1. ელიზბარაშვილი ე., პაპინაშვილი ლ., ხელაძე თ. საქართველოს ტერიტორიაზე ატმოსფერული ნალექების მრავალწლიური ცვლილების გამოკვლევის წინასწარი შედეგები. კლიმატის კვლევის ეროვნული ცენტრის საინფორმაციო ბიულეტენი, №5 1997, გვ.35-44.
2. ელიზბარაშვილი ე., ვაჩნაძე ჭ., ალადაშვილი თ. კლიმატური ციკლები და ატმოსფეროს ცირკულაციის რეეგადობა. პიდრომეტეოროლოგიის ინსტიტუტის შრომები, ტ. 101, 1998, გვ.142-150.
3. ელიზბარაშვილი ე., პაპინაშვილი ლ. ატმოსფერული ნალექების მრავალწლიური ცვლილება საქართველოში. პიდრომეტეოროლოგიის ინსტიტუტის შრომები, ტ. 103, 1999, გვ.34-40.
4. ელიზბარაშვილი ე. ელიზბარაშვილი შ. ატმოსფერული ნალექების ველის მათემატიკური მოდელირება მთიანი რელიეფის პირობებში. მეცნიერება და ტექნიკა, №4-6, 1999, გვ.18-20.
5. ელიზბარაშვილი ე., ელიზბარაშვილი შ. ატმოსფერული ნალექების ველთა აღწერა არაწრფივი რეგრესიული მოდელების გამოყენებით პიდრომეტეოროლოგიის ინსტიტუტის შრომები, ტ. 102, 2001, გვ.23-32.
6. ე-ელიზბარაშვილი, შ. ელიზბარაშვილი, ზ.ქარსელაძე. ატმოსფერული ნალექები. საქართველოს ჰავა.ტ.1, აჭარა. პიდრომეტეოროლოგიის ინსტიტუტის შრომები, ტ.110, 2003, გვ.47-51.
7. ელიზბარაშვილი ე. გამოკვლევები მთიანი რაიონების კლიმატური რიგების და ველების მათემატიკური მოდელირების დარგში. თბილისის გეოფიზიკური ობსერვატორიის 150 წლისთავისადმი მიღვნილი მასალათა კრებული. თბ. მეცნიერება, 1997; გვ. 78-85.
8. ელიზბარაშვილი ე., ჟავახიანი ზ. გვალვები , უნაღევე და ნალექიანი პერიოდები საქართველოში. თბილისი, მეცნიერება, 1992, 110 გვ.
9. შ-ელიზბარაშვილი შ.. საქართველოს ტერიტორიაზე ატმოსფერული ნალექების მრავალწლიური ცვლილების მათემატიკური მოდელირება. პიდრომეტეოროლოგიის ინსტიტუტის შრომები, ტ.102, 2001, გვ.139-144.
10. კორძახია შ. საქართველოს ჰავა.საქ. მეცნ. აკად. გამომცემლობა, თბილისი, 1961, 123გვ.
11. მუმლაძე დ. საქართველოს კლიმატის თანამედროვე ცვლილება. თბ; 1991, 126გვ.

12. საქართველოს სსრ კურორტები და საკურორტო რესურსები (ატლასი), მთსკოვი, 1989.
13. ხელი ბერძნები ზ., ელიტარაშვილი გ. რელიეფის გავლენა ატმოსფერულ პროცესებზე. თემა, 1982, 34გვ.
14. ხელი ბერძნები ზ.; ელიტარაშვილი გ. ატმოსფერული ნალექების გერტიკალური განაწილების მათემატიკური მოდელირებისათვის. საქ. მეცნიერებათა აკადემიის მოაბდე, 144, №2, 1991. გვ. 265-268.
15. Алибегова Ж. Д; Элизбарашили Э. Ш. Статистическая структура атмосферных осадков в горных районах, Л; Гидрометеоиздат, 1980; 136с.
16. Асатиани Х.М., Элизбарашили Э. Ш. Высотно-временное распределение атмосферных осадков в ущельях рек Грузии. Тр. ТГУ, 175, 1977,gv.113-119.
17. Беручашвили Н. Л. Кавказ: ландшафты, модели, эксперименты. Тбилиси, 1995, 314с.
18. Климат и климатическое ресурсы Грузии. Л., Гидрометеоиздат, 1971, 384с.
19. Опасные гидрометеорологические явления на Кавказе. Л.Гидрометеоиздат, 1980, 287с.
20. Элизбарашили Ш.Э. Геоинформационное картографирование и моделирование атмосферных осадков в горных условиях. Кавказский географический журнал, №5, 2005, с.49-51.
21. Элизбарашили .Ш.Э. Геоинформационное картографирование годовых сумм осадков в горных районах Грузии. Метеорология и гидрология, №2, 2006, с.47-52.
22. Элизбарашили Э. Ш., Хеладзе Т. В. Орографические факторы климатообразования на южном склоне Большого Кавказа. Известия АН СССР ., с. Географическая, №1, 1988, с106-112.
23. Элизбарашили Э. Ш., Хеладзе Т. В. О статистической модели климата горной страны. Метеорология и гидрология, №3, 1989, с 102- 103.
24. Элизбарашили Э. Ш., Хеладзе Т.В. , Гецадзе З.Д.. Моделирование климата горной страны. Известия АН СССР, с, географическая. №8, 1988. с.91-97.
25. Элизбарашили Э. Ш. Вертикальная зональность климатов Закавказья. Изв. АН ССР., с. Геогр., №4, 1978, с.97-104.
26. Элизбарашили Э. Ш. Влияние горного рельефа на распределение тепла и увлажнения. Известия АН СССР, с. Геогр. №2, 1984, с.77-84.
27. Elizbarashvili E.Sh., Chavchanidze Z.B., Elizbarashvili M. E., Maglakelidze R.V., Sulkhanishvili N.G., Elizbarashvili Sh. E. Soil-Climatic Zonizing of Georgia. Eurasian Soil Sciente, 10, 2006, p,1062-1065.

ტიტო 300 ეგზ. ფასი შეთანხმებით.



შალვა ელიზბარაშვილი-გეოგრაფიის მეცნიერებათა დოქტორი, პიდრომეტეოროლოგიის ინსტიტუტის მეცნიერთანამშრომელი.

ავტორია 15 სამეცნიერო ნაშრომისა, მათ შორის 2 გამოქვეყნებულია მაღალი რეიტინგის (იმფაქტ ფაქტორ ჯურნალში).